

ذوب پریدوتیت بالای زون فروزانش عامل شرایط ریداکس ماگمایی توده‌های کانه‌دار ذخایر مس پورفیری دهسلم و چاه‌شلغمی؛ آنالیز درجا زیرکن

علیرضا الماسی^{*}، قاسم نباتیان^۲، امیر مهدوی^۳، چیولی لی^۴

۱- گروه زمین‌شناسی، دانشکده علوم، دانشگاه لرستان، لرستان، ایران

۲- گروه زمین‌شناسی، دانشکده علوم، دانشگاه زنجان، زنجان، ایران

۳- گروه زمین‌شناسی، دانشکده علوم، دانشگاه بیرجند، بیرجند، ایران

۴- موسسه زمین‌شناسی و ژئوفیزیک، آکادمی علوم چین، چین

(دریافت مقاله: ۱۴۰۰/۱/۱۸، نسخه نهایی: ۱۴۰۰/۳/۱۷)

چکیده: با استفاده از محاسبات مقادیر عنصر فرعی، فوگاسیته اکسیژن (fO_2) و دمای تبلور زیرکن‌های (Ti-in-zircon) توده‌های نفوذی کوارتز مونزونیتی کانه‌دار کانسارهای مس-مولیدن پورفیری چاه شلغمی و دهسلم محاسبه و شرایط اکسیداسیونی ماگمای مادر بررسی شد. مقادیر Ce^{4+}/Ce^{3+} برای چاه شلغمی و دهسلم به ترتیب در بازه‌های ۸ تا ۲۹۵ با میانگین ۱۲۵ و ۳ تا ۱۷۱ با میانگین ۳۵ در بازه مطلوب برای کانی‌سازی پورفیری قرار نگرفت. مقادیر fO_2 محاسبه شده برای چاه شلغمی در بازه $-1.8 \Delta F_{MQ}^{+0.6}$ تا $-0.6 \Delta F_{MQ}^{-0.4}$ و برای دهسلم در بازه محدود $-0.4 \Delta F_{MQ}^{+1.3}$ تا $-0.8 \Delta F_{MQ}^{-0.8}$ با میانگین $-0.8 \Delta F_{MQ}$ قرار گرفت که حداقل به میزان $+1 \Delta F_{MQ}$ کمتر از مقادیر کانی‌سازی مس پورفیری شاخص در دنیا است. براساس مقادیر $\log fO_2$ زیرکن توده‌های کانه‌دار، ماگمای مادر از ذوب بخشی پریدوتیت گوشته‌ای بالای زون فروزانش با دخالت ضعیف صفحه فروزانشی منشا گرفته است. ذوب در شرایط نامناسب (زیر خط بافر مگنتیت-هماتیت (HM) و در شرایط بافر فایالیت-مگنتیت-کوارتز (FMQ)، و نبود مقادیر مس و گوگرد کافی در منشا)، که با شواهد در درون ذخیره مانند نبود همرشدی‌های مگنتیت-هماتیت حمایت می‌شود، برای کانی‌سازی مس پورفیری در دو منطقه ایده‌آل نبوده است. نتایج با داده‌های ژئوشیمی عنصر اصلی و فرعی و مقادیر ایزوتوپی Sr-Nd سنگ کل قبلی نیز حمایت می‌شود.

واژه‌های کلیدی: زیرکن؛ فوگاسیته اکسیژن؛ مس پورفیری؛ چاه شلغمی؛ دهسلم؛ پریدوتیت.

بلور/مذاب اشان [۴،۳] و انحلال‌پذیری در ماگماهای سیلیکاته [۱،۵] را کنترل می‌کند. این مسئله بطور ویژه‌ای برای کانی‌سازی در سیستم‌های ماگمایی-گرمایی (مانند ذخایر نوع پورفیری؛ [۶-۸]) و نوع مواد فرار در طی آزادشدن گازهای ماگما [۹،۱۰]، تعیین‌کننده و مهم است. در چند سال اخیر زیرکن به عنوان یک اکسی ترموبارومتر کانیایی با ترکیب نسبتاً پایدار و رایج که غالباً در ماگماهای حدوداً سطح-اسیدی یافت می‌شود، معرفی شده است [۱۱-۱۳]. زیرکن‌های رژیم‌های

مقدمه

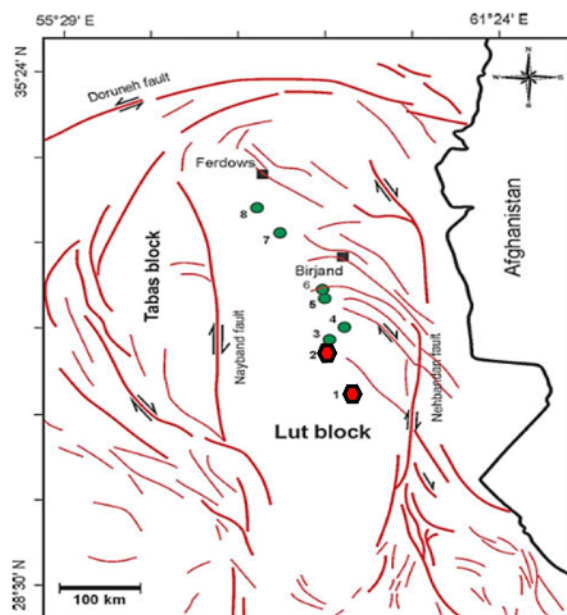
فوگاسیته اکسیژن (fO_2) یک ویژگی ترمودینامیکی پایه است که کنترل کننده پتانسیل اکسیداسیون-احیا در سیستم‌های کره زمین است [۲،۱]. آنالیز fO_2 ماگمایی به درک ما از حالت ظرفیت شیمیایی (ترکیب اتمی) و انحلال‌پذیری عناصر چند ظرفیتی در طی تکامل ماگمایی کمک می‌کند. در طی تکامل ماگما، fO_2 ظرفیت اتمی عناصر چند ظرفیتی (مانند Fe, Cu, Au, S, V) را کنترل می‌کند، که بنوبه خود تفکیک‌پذیری

زمین‌شناسی و کانی‌سازی دهسلم و چاه‌شلغمی تکامل اقیانوس نئوتیپس در ایران با انواع مختلفی از کانی‌سازی و ذخایر فلزی شامل ذخایر مس پورفیری همراه بوده است. ذخایر مس پورفیری در ایران در سه کمربند مت مرکز هستند: ارسباران، بخش میانی کمان مگمایی ارومیه-دختر و شرق ایران [۲۱]. مگماتیسم ترشیری در ناحیه لوت-سیستان در شرق ایران به فروزانش پوسته اقیانوسی سیستان به زیر لوت نسبت داده شده است [۲۵-۲۲]. تحت تاثیر این روبیداد کانسارهای پورفیری و رگهای متعددی در بلوك لوت تشکیل شده است [۲۶] (شکل ۱). مهمترین کانسارهای شلغمی و ده سلم $Cu \pm Mo \pm Au$ پورفیری که تاکنون شناخته شده شامل چاه [۲۹]، ماهر آباد و شادان (خوپیک) [۲۸، ۲۷] هستند (شکل ۱). کانسارهای مس پورفیری دهسلم و چاه-شلغمی در بخش مرکزی بلوك لوت واقع شده‌اند (شکل ۱). بلوك لوت از سنگ‌های دگرگونی پیش از ژوراسیک و سنگ‌های رسوبی ژوراسیک تشکیل شده که پلوتون‌های ژوراسیک و ترشیری عمده‌تر گرانیت‌تیید در آنها نفوذ کرده و با جریان‌های گدازه و مواد آذرآواری مافیک و اسیدی ترشیری پوشانده شده‌اند [۳۰، ۲۸]. براساس نقشه زمین‌شناسی دهسلم، کمپلکس نفوذی دهسلم در حدود ۲۵۰ کیلومتری بیرونی (شکل ۱)، اساساً از استوک‌هایی که به درون آتش‌فشانی‌ها، ماسه‌سنگ‌ها و سیلتستون‌های اثوسن نفوذ کرده‌اند، تشکیل شده است (شکل ۲). سنگ‌های نفوذی بازه‌ای از گابرو تا گرانیت، با واحدهای مونزونیتی و کوارتز مونزونیتی غالب، دارند [۲۸]. براساس روابط قطع شدگی در سطح و گمانه‌های حفاری، استوک‌های کوارتز مونزونیتی قدیمی‌ترین و بیوتیت گرانیت (بصورت استوک‌های کوچک و دایک‌ها) جوانترین‌اند [۲۸]. پلازیوکلاز کانی اصلی اغلب سنگ‌هاست. بیوتیت، کلینوپیروکسن و هورنبلندر، با نسبت‌های مختلف، سیلیکات‌های فرومیزین در نفوذی‌های منطقه‌اند [۲۸]. استوک‌های کوارتز مونزونیتی تحت تاثیر آلتراسیون پتاسیک قرار گرفته‌اند. آلتراسیون پتاسیک تحت تاثیر آلتراسیون سرسیتیک-کلسیت-کوارتز قرار گرفته و با رگچه‌های کوارتز + پیریت + گالن + اسفالریت + کالکوپیریت قطع شده است. کوارتز مونزونیت همچنین میزبان چند رگه کوارتز + پیریت + مگنتیت + مولیبدنیت + کالکوپیریت + انیدریت ± طلا است. مونزونیت‌ها و

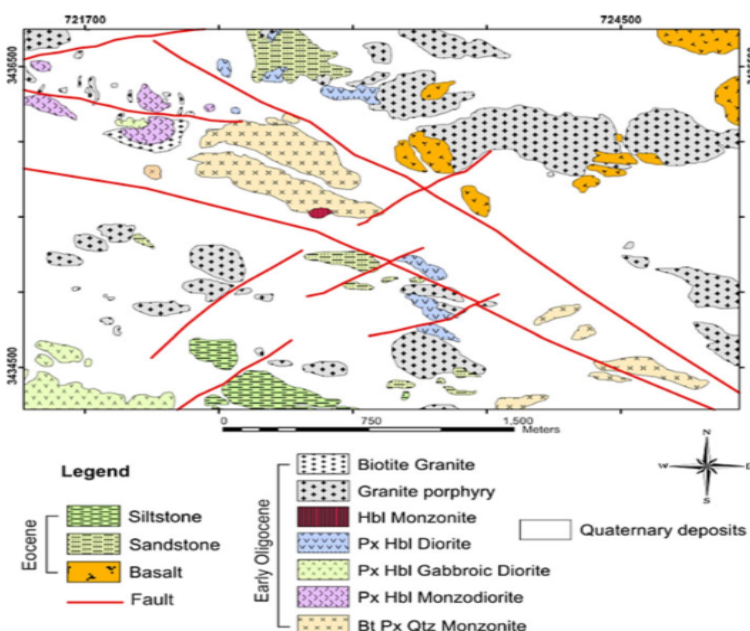
تکتونیکی جزایر قوسی و MORB، بطور قابل ملاحظه‌ای دارای دماهای تبلور بیشتری از زیرکن‌های حاشیه همگرا هستند، که این مسئله بخاطر مagmaهای سردتر و آبدارتر در محیط‌های فرورانش است [۱۴]. بنابراین دماهای تبلور زیرکن برای ذخایر مس پورفیری همراه با magmaهای حاشیه همگرا باید کم باشد [۱۶، ۱۵]. زیرکن یک کانی استثنائی مقاوم است که از همان زمان تبلور ترکیب شیمیایی و ایزوتوپی اولیه خود را حفظ کرده [۱۷]، و داده‌های شیمیایی مربوط به magmaهای مادر را فراهم می‌کند. در بین عناصر نادر خاکی (REE)، سریم (Ce) تحت شرایط magmaی به حالت Ce^{4+} و Ce^{3+} دیده می‌شود، و زیرکن بطور ترجیحی Ce^{4+} را بجای Zr^{4+} در ساختار خود جا می‌دهد [۱۶]. بنابراین، کانی‌های زیرکن تشکیل شده در یک magmaی اکسیدان در نمودارهای نرم‌الیزه شده با کندریت مربوط به عناصر نادر خاکی ناهنجاری‌های سریم (Ce) مثبت از خود نشان می‌دهند [۱۶]. از آنجائیکه درجات ناهنجاری‌های مثبت به شرایط اکسیداسیون magmaی مادر مربوط می‌شود، از نسبت Ce^{4+}/Ce^{3+} برای نشان دادن ماهیت اکسیدان magmaهای مادر سنگ‌های آذرین همراه با ذخایر پورفیری در ذخایر پورفیری سرتاسر دنیا مانند شیلی [۱۱]، تبت [۱۸]، Qinling [۱۹] و Zhejiang [۲۰] و کمربند کوه‌زایی آسیای مرکزی (COAB) [۱۶] در چین استفاده شده است. برای این کار از بافرهای اکسیژن (مجموعه کانی‌ای بیانگر یک فوگاسیته اکسیژن خاص در دما و فشار تحمیل شده که به عنوان نشانه‌هایی در اندازه-گیری فوگاسیته اکسیژن سنگ‌ها و magmaهای طبیعی کاربرد دارند) شامل فایالت-مگنتیت-کوارتز (FMQ)، هماتیت-مگنتیت (HM) و $MnO \cdot Mn_3O_4$ (NNO) NiO و $NiO \cdot FMQ$ و ... استفاده می‌شود. بافرهای اکسیژن ... بطور گسترده در مطالعات نمونه‌های طبیعی استفاده می‌شود. داده‌های فوگاسیته اکسیژن اکثر سنگ‌های آذرین در بازه چند واحد لگاریتمی بافر NNO و FMQ قرار می‌گیرد. در این مقاله ما با استفاده از عناصر فرعی زیرکن، دماهای زیرکن و فوگاسیته اکسیژن ($\log(O_2)$) توده‌های نفوذی کانه‌دار ذخایر مس پورفیری دهسلم و چاه‌شلغمی را محاسبه و گزارش کرده‌ایم. این اطلاعات می‌تواند به ما درباره شرایط منشایی magmaهای عامل کانی‌سازی مس پورفیری در شرق ایران کمک کند.

شمال غرب دهسلم، و در مجاورت کانسار IOCG قلعه‌زرنی قرار دارد (شکل ۱). چاه‌شلغمی یک زون آلتراسیونی دایره‌ای وسیع در سنگ‌های آتشفسانی آندزیتی و آذرآواری‌ها است. براساس نقشه زمین‌شناسی چاه‌شلغمی، واحدهای منطقه شامل آتشفسانی-نفوذی‌های ائوسن-الیگوسن است (شکل ۳) [۲۷].

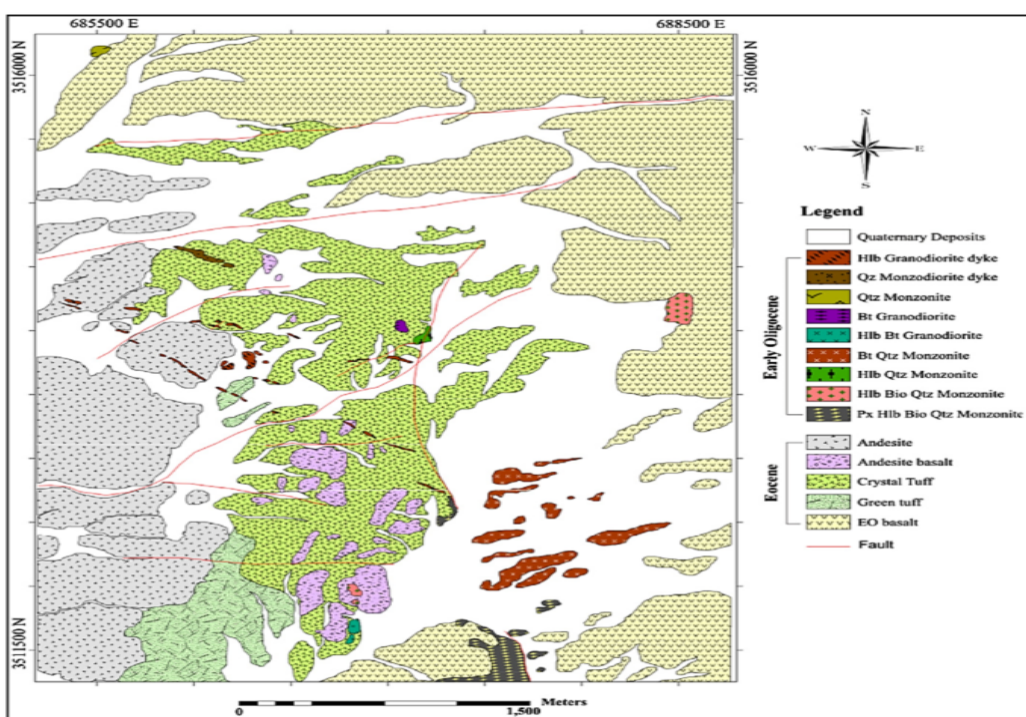
دیوریت‌ها دارای پتانسیل کانی‌سازی ضعیف یا عقیم‌اند [۲۸]. گرانیت‌ها بصورت متغیر سرسیتی شده‌اند و توسط انواعی از رگه‌ها و رگچه‌ها (کوارتز + پیریت + مولیبدنیت؛ کوارتز + پیریت + کالکوپیریت + آرسنوبیریت ± طلا و کوارتز + پیریت + گالن + سولفوسالت‌ها) قطع شده‌اند [۲۸]. اندیس مس پورفیری چاه‌شلغمی در ۹۰ کیلومتری بیرجند، حدود ۹۰ کیلومتری



شکل ۱ رخدادهای کانی‌سازی ترشیری همراه با ماقماتیسم ائوسن-میوسن در بلوک لوت [۲۶]؛ ۱. مس-مولبیدن پورفیری دهسلم؛ ۲. مس-مولبیدن پورفیری چاه‌شلغمی؛ ۳. ذخیره IOCG قلعه‌زرنی؛ ۴. طلا-قلعه‌زرنی؛ ۵. مس-گرانیتوئیدهای احیایی؛ ۶. مس-طلا پورفیری خوبیک؛ ۷. مس-طلا پورفیری ماهرآباد؛ ۸. کانی‌سازی رگه‌ای مس-سرپ-روی-آنتیمون خور؛ ۸. کانی‌سازی رگه‌ای مس-سرپ-روی-آنتیمون شوراب.



شکل ۲ نقشه زمین‌شناسی محدوده مس پورفیری دهسلم [۲۸]



شکل ۳ نقشه زمین‌شناسی محدوده مس پورفیری چاهشلمی [۲۷].

آماده‌سازی و روش تجزیه

برای جداسازی زیرکن و انعام مطالعات فوگاسیته اکسیژن تعداد سه نمونه از توده‌های نفوذی کانه‌دار چاه شلغمی (دو نمونه پیروکسن هورنبلند بیوتیت کوارتز مونزونیت و یک نمونه بیوتیت کوارتز مونزونیت) و دو نمونه از توده‌های نفوذی کانه‌دار دهسلم (دو نمونه پیروکسن بیوتیت کوارتز مونزونیت از دو مکان مختلف) با کمترین میزان دگرسانی تا اندازه حدود ۶۰ مش (۲۵۰ میکرومتر) پودر شدند. تفکیک کانی سنگین با تکنیک‌های جداسازی ثقلی و مغناطیسی مرسوم صورت گرفت و زیرکن‌ها در زیر میکروسکوپ بینوکولار بصورت دستی در آزمایشگاه سازمان زمین‌شناسی کشور جدا شدند. دانه‌ها در رزین اپوکسی محکم و سپس صیقل داده شدند تا سطوح داخلی آنها نمایان شود. تمام دانه‌ها با میکروگراف نوری عبوری و انعکاسی و همچنین تصاویر کاتدولومینسانس ثبت شدند تا وضعیت ساختار درونی آنها بدست آید. مقادیر عنصر فرعی زیرکن بوسیله آنالیزهای سطوح مقطع زیرکن فاقد ادخال یا دگرسانی تشخیص داده شده است. ترکیب عناصر فرعی توسط لیزر با استفاده از دستگاه طیف سنجی جرمی پلاسمای القایی (LA-ICP-MS) در آزمایشگاه ایزوتوبی زمین‌شناسی در انسٹیتوی منابع معدنی، آکادمی علوم زمین چین انجام شد. شرایط عملیاتی تجزیه‌ای دقیق در [۳۱] ارائه شده است. یک

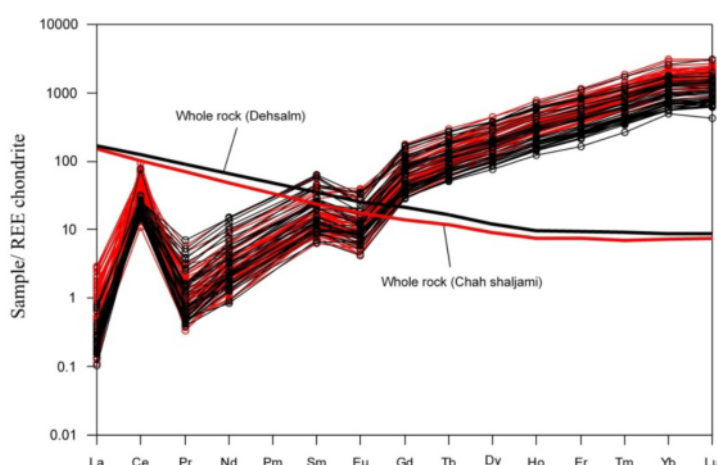
واحدهای آتشفسانی شامل بازالت، آندزیت و توفهای مختلف به سن ائوسن (سن 40.5 ± 2 Ma) برطبق سن سنجی (Rb-Sr) است [۳۰]. واحدهای نفوذی از دایک‌های کوارتز مونزودیوریتی و هورنبلند گرانودیوریت و استوک‌های پیروکسن هورنبلند بیوتیت کوارتز مونزونیت، هورنبلند بیوتیت کوارتز مونزونیت، کوارتز مونزونیت، هورنبلند کوارتز مونزونیت، بیوتیت کوارتز مونزونیت، کوارتز مونزونیت، هورنبلند بیوتیت گرانودیوریت و بیوتیت گرانودیوریت تشکیل شده و سن آنها الیگوسن است [۲۷] (شکل ۳). دایک‌ها دارای روند شمال‌غربی بوده و در بخش‌های غربی نقشه زمین‌شناسی هستند (شکل ۳). آنها بعد از دیگر سنگ‌های نفوذی در منطقه نفوذ کرده‌اند [۲۷]. آتراسیون گرمابی اغلب با وجود سرسیت، کلریت، کلسیت و اپیدوت تایید می‌شود. استوک‌های کوارتز مونزونیتی از شمال شرق تا جنوب-شرق نقشه به عنوان وسیع‌ترین توده‌های نیمه عمیق رخمنون دارند [۲۷]. این سنگ‌ها بافت پورفیری ویژه‌ای با بلورهای بزرگ پلازیوکلاز و پتاسیم فلدسپار تا بیش از ۷ میلیمتر طول دارند. فنوکریست‌های پتاسیم فلدسپار دارای ادخال‌های هورنبلند و بیوتیتاند. زمینه سنگ از پلازیوکلاز، کوارتز، پتاسیم فلدسپار، بیوتیت و هورنبلند تشکیل شده است [۲۷]. کانی‌سازی شامل پیریت، مولیبدنیت، کالکوپیریت، اسفالریت، گالن و انارزیت است [۲۷].

است. براساس مقادیر عنصر فرعی (جدول ۱) و مقادیر نرمالیزه شده با کندریت (شکل ۴)، همه زیرکن‌های نفوذی‌های کانه‌دار دارای الگوهای REE مشابه هستند. همه زیرکن‌ها غنی‌شدگی از HREE نسبت به LREE، آنومالی‌های Ce مثبت قوی و آنومالی‌های Eu منفی نشان می‌دهند. آنومالی‌های Eu^{*} (Eu/Eu*) بوسیله روش مرسوم براساس مقادیر نرمالیزه شده Gd و Sm محاسبه شد. آنومالی Eu محاسبه شده دانه‌های زیرکن توده‌های چاه شلغمی بازه‌ای از ۰/۲۱ تا ۰/۶۵ و توده‌های دهسلم ۰/۲۱ تا ۰/۵۱ دارد (جدول ۲). از داده‌های سنگ کل چاه شلغمی [۲۷] و دهسلم [۲۸] و عناصر فرعی زیرکن (جدول ۱) برای محاسبه نسبت Ce⁴⁺/Ce³⁺ زیرکن استفاده شد. محاسبه آنومالی‌های Ce نیاز به محاسبه مقدار Ce³⁺ دارد، که بطور متداول براساس مقادیر La و Pr است. مقادیر La و Pr در Zr کم و نزدیک به حدود شناسایی است (جدول ۱ و شکل ۴)، که محاسبه دقیق Ce³⁺ را سخت می‌کند. برای محاسبه مقادیر Ce³⁺ از روش Smythe و سبکی مانند La، Pr و Eu برای محاسبه Ce³⁺ و نیز کاتیون ۴ ظرفیتی U برای محاسبه Ce⁴⁺ استفاده نمی‌شود، زیرا مقادیر کم این عناصر می‌تواند بوسیله ادخال‌های کوچک بهم بربزد. ضرایب تفکیک‌های زیرکن-مذاب برای Ce³⁺ و Ce⁴⁺ استفاده از مدل کرنش شبکه (معادله ۱) [۳۴]، محاسبه شد. شعاع یونی REE از [۳۵] بدست آمد.

سیستم لیزری Geolas CQ ArF excimer (به یک دستگاه Agilent 7500a ICP-MS متصل است. انتخاب اندازه نقطه ۶۰-۱۶۰ μm و نرخ تکارپذیری ۳-۱۰ Hz) با تاثیر حدود ۱۰ J/cm²، به شدت سیگنال بستگی دارد. در طی تابش لیزر، گاز هلیم به عنوان گاز حامل به سلول نمونه وارد شد تا مقدار مواد زائد در اطراف گودال تابش لیزری به حداقل برسد و سپس گاز آرگون برای بهبود کارایی حمل و نقل مواد زائد از طریق یک کانال T مانند قبل از ورود به ICP با گاز هلیم ترکیب شد. اندازه گیری‌های ICP-MS با استفاده از تجزیه انحلال-زمان و اوج پرش در یک نقطه در هر جرم انجام شد. هر پنج نمونه مورد تجزیه توسط یک زیرکن استاندارد ۹۱۵۰۰ و یک ماده مرجع خارجی NIST SRM 610 دنبال شد. هر تجزیه نقطه‌ای تقریباً شامل ۳۰ ثانیه جمع‌آوری پس زمینه و ۴۰ ثانیه جمع‌آوری داده نمونه بود. مقادیر عناصر فرعی با استفاده از نرمافزار 4.0 GLITTER [۳۲]، محاسبه و با استفاده از ⁴⁰Ca به عنوان یک ماده مرجع خارجی کالیبره شد. خطاهای تجزیه‌های براساس شمارش‌های آماری در سطح ۱۵ تعیین شد.

نحوه محاسبه نسبت Ce⁴⁺/Ce³⁺ و فوگاسیته اکسیژن زیرکن و دماهای تبلور

نتایج تجزیه عنصر فرعی زیرکن و داده‌های محاسباتی به ترتیب در جدول‌های ۱ و ۲ آورده شده است. الگوهای عناصر نادر خاکی نرمالیزه شده با کندریت در شکل ۲ نشان داده شده



شکل ۴ الگوی عناصر نادر خاکی نرمالیزه شده با کندریت برای زیرکن‌ها و سنگ کل نفوذی‌های کانه‌دار چاه شلغمی و دهسلم. (مقادیر کندریت از [۴۲] و مقادیر سنگ کل چاه شلغمی از [۲۷] و دهسلم از [۲۸]. به منحنی با شیب ملایم سنگ کل در مقابل آنومالی‌های زیاد Ce و آنومالی‌های Eu منفی دانه‌های زیرکن توجه شود).

جدول ۱ مقادیر عناصر فرعی زیرکن توده‌های نفوذی کانه‌دار چاه شلغمی و دهسلم (همه مقادیر بر حسب ppm است).

Sampl	Ti	La	Ce	Pr	Nd	Sm	Eu	Gd	Tb	Dy	Ho	Er	Tm	Yb	Lu	Hf	Th	U
<i>Chah Shalgami mineralized samples</i>																		
CSJ3-	.۴	.۲۲	۲۱.۹۱	.۰.۹	۱.۵۷	۲.۳۴	.۰.۷۵	۱۴.۸۴	۰.۰۵	۰۹.۳	۲۲.۷	۱۰.۷	۲۶.۱	۲۶۸	۴۷.۸	۸۸۱۴	۹۹۸۹	۹۹۳۴
CSJ3-	.۶۷	.۰.۸	۱۸.۸۷	.۰.۳۷	۵.۲۵	۶.۳۹	.۲۸۲	۲۷.۸۳	۹.۰۵	۹۹.۵	۳۶.۸	۱۵۷	۳۵۸	۳۳۴	۵۸.۸	۷۰.۳۰	۷۱۷۷	۵۱۳۴
CSJ3-	.۴۰	.۴۹	۲۱.۲۰	.۰.۱۲	۱.۳۷	۲.۴۶	.۰.۵۳	۱۱.۲۷	۲.۷۷	۴۹.۹	۲۰.۲	۹۸	۲۵	۲۵۷	۴۹.۹	۸۶۸	۹۱۶۸	۱۱۲۶۸
CSJ3-	.۴۴	.۰.۶	۲۵.۱۹	.۰.۰۶	۱.۰۲	۲.۶۰	.۰.۵۳	۱۲.۸۷	۴.۴۸	۵۴.۱	۲۲.۳	۱۰.۶	۲۶.۵	۲۸۵	۵۱.۶	۸۷۵۹	۱۱۸۶۱	۱۴۴.۲
CSJ3-	.۷۵	.۰.۸	۱۰.۸۷	.۰.۰۹	۱.۰۴	۲.۳۴	.۰.۷۰	۱۴.۲۷	۴.۶۸	۵۴.۶	۲۱.۲	۹۴	۲۲.۸	۲۴۶	۳۸.۸	۷۹۶۶	۵۳۴۵	۵۸۹۵
CSJ3-	.۳۳	.۰.۰۵	۱۸.۰۳	.۰.۰۵	.۰.۹	۱.۹۳	.۰.۵۳	۱۱.۶۲	۴.۴۳	۵۲.۶	۲۱.۶	۱۰.۱	۲۶.۲	۲۷۲	۴۹.۱	۷۹۵۵	۸۸۵۱	۱۱۹۲۳
CSJ3-	.۰۵	.۰.۰۶	۲۶.۸۷	.۰.۳۳	۵.۲۷	۸.۲۱	.۲.۹۵	۳۴.۹۴	۱۰.۰۰	۱۱۹	۴۳.۸	۱۸۵	۴۲.۴	۳۸۷	۷۲.۵	۷۰.۹۱	۱۶۹۱۴	۱۱۹.۷
CSJ3-	.۰۵	.۰.۳۱	۲۴.۶۱	.۰.۲۷	۲.۴۹	۵.۰۶	.۲.۴۷	۲۴.۴۱	۸.۷۷	۳۶.۷	۳۶.۱	۱۶۰	۳۹.۱	۳۷۷	۷۴.۹	۷۵۴۴	۲.۶۶۶	۱۳۸۹.
CSJ3-	.۰۶	.۰۶	۱۷.۶۹	.۰۵۸	۵.۸۶	۶.۷۷	.۲.۵۹	۳۱.۲۳	۹.۷۱	۱۰.۸۲	۳۶.۹	۱۶۱	۳۸.۳	۳۷۰	۵۹.۹	۶۶۱۱	۱۴۲۳۳	۱۲۰.۲۹
CSJ3-	.۰۹	.۰.۲۸	۲۲.۴۴	.۰.۰۹	۱.۱۸	۱.۷۱	.۰.۵۷	۹.۷۶	۳.۷۰	۴۶.۲	۱۸.۶	۸۷	۲۳.۲	۲۶۴	۴۲.۴	۷۲۶۲	۸۱۷۷	۱۲۶۷۹
CSJ3-	.۰۲	.۰.۱۶	۲۲.۴۵	.۰.۰۸	۱.۲۵	۲.۶۹	.۰.۶۲	۱۲.۹۷	۴.۴۹	۵۲.۶	۲۲.۳	۱۰.۳	۲۶.۳	۲۷۱	۵۱.۹	۸۷۸	۱.۷۹۸	۱۲۶۱۸
CSJ3-	.۰۹	.۰.۰۷	۲۶.۴۳	.۰.۱	۱.۲۸	۲.۵۳	.۰.۷۱	۱۲.۸۳	۴.۷۷	۵۴.۶	۲۲.۴	۱۰.۵	۲۷.۵	۲۹۵	۵۲.۳	۷۹۲۶	۱۲۲۵۵	۱۵۲۳۸
CSJ3-	.۰۴	.۰.۰۴	۲۲.۳۳	.۰.۱۰	۱.۰۲	۲.۳۴	.۰.۵۴	۲.۴۷	۲۴.۴۱	۸.۷۷	۳۶.۷	۳۶.۱	۳۷۷	۷۴.۹	۷۵۴۴	۲.۶۶۶	۱۳۸۹.	
CSJ3-	.۰۷	.۰.۱۰	۲۵.۳۰	.۰.۱۱	۲.۶۱	۲.۹۳	.۱.۱۱	۱۸.۷۱	۶.۶۸	۶۸.۹	۲۸	۱۲۲	۳۱.۷	۳۵۶	۴۸.۱	۷۴۱۴	۱۲۲۳۰	۱۵۷۵۳
CSJ3-	.۰۰	.۰.۰۷	۱۷.۵۹	.۰.۰۶	.۰۹	۱.۲۱	.۰.۳۹	۸.۵۸	۲.۹۱	۳۷.۴	۱۶.۱	۷۹	۱۸.۹	۱۹۶	۳۹.۴	۸۳۹۲	۷.۵۲	۸۰۱۲
CSJ3-	.۰۶	.۰.۲۹	۲۷.۱۰	.۰.۱۱	۱.۴۶	۱.۹۸	.۰.۶۵	۱۲.۲۹	۴.۰۲	۵۰.۱	۲۰	۹۴	۲۶.۹	۳۰.۳	۴۶	۷۲۶۲	۱.۷۹۱	۱۶۴۲۱
CSJ3-	.۰۰	.۰.۰۸	۲۵.۲۸	.۰.۱۴	۲.۲۴	۳.۴۵	.۰.۹۹	۱۹.۵۷	۶.۷۲	۷۷.۸	۳۱.۱	۱۳۹	۳۴.۱	۳۳۲	۶۲.۱	۸۷۱۰	۱۴۸۱۶	۱۳۶۵۳
CSJ3-	.۰۰	.۰.۱۲	۲۱.۶	.۰.۰۸	۱.۰۲	۲.۱۳	.۰.۶۵	۱۱.۳۹	۴.۳۳	۴۹.۶	۲۰.۸	۹۸	۲۵.۵	۲۶۰	۴۹.۱	۸۲۵۰	۸۸۴۳	۱۰.۸۴
CSJ3-	.۰۲	.۰.۲۸	۲۸.۳۰	.۰.۱۰	۱.۰۸	۱.۷۶	.۰.۶۵	۱۱.۶	۴.۴۲	۵۲.۷	۲۱.۳	۱۰.۲	۲۵.۷	۲۵۷	۵۱.۳	۸۹۶۳	۱۲۲۹۲	۱۳۷۷.
CSJ3-	.۰۹	.۰.۱۱	۱۷.۶۶	.۰.۰۴	.۰۱	۱.۶۳	.۰.۶۳	۱۰.۰۹	۳.۵۲	۴۱.۹	۱۷۴	۸۱	۱۹.۷	۲۰۰	۸۸.۳	۸۷۸۸	۶۷۶۷	۷۷۹۴
CSJ3-	.۰۰	.۰.۶۲	۲۲.۹۶	.۰.۲۱	۲.۱۵	۴.۰۱	.۰.۹۱	۱۹.۱۷	۶.۷۲	۷۵.۴	۳۱.۵	۱۴۴	۳۵۸	۲۶۵	۷۶.۱	۸۰۹۰	۱۰۰۱۱	۱۸۴۰.
CSJ3-	.۰۲	.۰.۵۱	۲۷.۳۸	.۰.۱۱	۱.۴۸	۲.۱۷	.۰.۵۴	۱۲.۶۹	۴.۸۰	۴۳.۱	۲۱.۸	۱۰.۸	۲۷.۹	۳۰.۷	۵۲.۱	۸۰۳۸	۱.۰۲۱۶	۱۳۴۷۷
CSJ3-	.۰۸	.۰.۱۲	۱۷.۹۶	.۰.۰۵	.۰۹۳	۱.۸۵	.۰.۵۷	۱۰.۶	۳.۹۳	۳۹.۱	۱۶.۵۱	۷۸	۱۹.۵	۲۰.۷	۳۹	۸۳۶۵	۶۹۸۶	۸۴۲۳
CSJ8-	.۰۵	.۰.۰۷	۱۷.۷۰	.۰.۰۲	۱.۰۷	۱.۴۵	.۰.۳۲	۷.۷۷	۲.۸۴	۲۳.۳	۱۳.۵	۶۲	۱۶.۵	۱۶۸	۲۸.۳	۹۱۴۵	۸۰۹۴	۹.۷۱
CSJ8-	.۰۴	.۰.۰۵	۲۰.۰	.۰.۰۷	۱.۰۴	۲.۳۴	.۰.۹۰	۱۹.۵۷	۶.۷۲	۷۷.۸	۳۱.۱	۱۳۹	۳۴.۱	۳۳۲	۶۲.۱	۸۷۱۰	۱۴۸۱۶	۱۳۶۵۳
CSJ8-	.۰۰	.۰.۱۲	۲۱.۶	.۰.۰۸	۱.۰۲	۲.۱۳	.۰.۶۵	۱۱.۳۹	۴.۳۳	۴۹.۶	۲۰.۸	۹۸	۲۵.۵	۲۶۰	۴۹.۱	۸۲۵۰	۸۸۴۳	۱۰.۸۴
CSJ8-	.۰۲	.۰.۲۸	۲۸.۳۰	.۰.۱۰	۱.۰۸	۱.۷۶	.۰.۶۵	۱۱.۶	۴.۴۲	۵۲.۷	۲۱.۳	۱۰.۲	۲۵.۷	۵۱.۳	۸۹۶۳	۱۲۲۹۲	۱۳۷۷.	
CSJ8-	.۰۹	.۰.۱۱	۱۷.۶۶	.۰.۰۴	.۰۱	۱.۶۳	.۰.۶۳	۱۰.۰۹	۳.۵۲	۴۱.۹	۱۷۴	۸۱	۱۹.۷	۲۰۰	۸۸.۳	۸۷۸۸	۶۷۶۷	۷۷۹۴
CSJ8-	.۰۰	.۰.۶۲	۲۲.۹۶	.۰.۲۱	۲.۱۵	۴.۰۱	.۰.۹۱	۱۹.۱۷	۶.۷۲	۷۵.۴	۳۱.۵	۱۴۴	۳۵۸	۲۶۵	۷۶.۱	۸۰۹۰	۱۰۰۱۱	۱۸۴۰.
CSJ8-	.۰۲	.۰.۵۱	۲۷.۳۸	.۰.۱۰	.۰۹۲	۲.۱۷	.۰.۶۵	۱۲.۶۹	۴.۸۰	۴۳.۱	۲۱.۸	۱۰.۸	۲۷.۹	۳۰.۷	۵۲.۲	۹۰.۲۳	۱.۰۹۸	۱۲۸۴۸
CSJ8-	.۰۰	.۰.۰۶	۲۴.۳۵	.۰.۱۰	.۰۹۲	۲.۹۲	.۰.۵۷	۱۲.۷۹	۴.۸۷	۴۱.۹	۲۱.۳	۱۰.۲	۲۵.۷	۵۱.۳	۸۹.۳	۹۰.۳۸	۱.۰۹۸	۱۲۸۴۸
CSJ8-	.۰۰	.۰.۰۶	۲۴.۳۵	.۰.۱۰	.۰۹۲	۲.۹۲	.۰.۵۷	۱۲.۷۹	۴.۸۷	۴۱.۹	۲۱.۳	۱۰.۲	۲۵.۷	۵۱.۳	۸۹.۳	۹۰.۳۸	۱.۰۹۸	۱۲۸۴۸
CSJ8-	.۰۰	.۰.۰۷	۲۶.۴۰	.۰.۱۰	.۰۹۳	۲.۹۳	.۱.۱۱	۲۱.۲۲	۸.۲۶	۵۰.۵	۲۱.۰	۱۰.۴	۲۵.۷	۴۶.۳	۶۱.۵	۸۰.۶۸	۲.۰۵۰	۱.۰۰۵
CSJ8-	.۰۰	.۰.۰۷	۲۶.۴۰	.۰.۱۰	.۰۹۳	۲.۹۳	.۱.۱۱	۲۱.۲۲	۸.۲۶	۵۰.۵	۲۱.۰	۱۰.۴	۲۵.۷	۴۶.۳	۶۱.۵	۸۰.۶۸	۲.۰۵۰	۱.۰۰۵
CSJ8-	.۰۰	.۰.۰۶	۲۲.۴۳	.۰.۱۰	.۰۹۳	۲.۹۳	.۱.۱۱	۲۱.۲۲	۸.۲۶	۵۰.۵	۲۱.۰	۱۰.۴	۲۵.۷	۴۶.۳	۶۱.۵	۸۰.۶۸	۲.۰۵۰	۱.۰۰۵
CSJ8-	.۰۰	.۰.۰۷	۲۶.۴۰	.۰.۱۰	.۰۹۳	۲.۹۳	.۱.۱۱	۲۱.۲۲	۸.۲۶	۵۰.۵	۲۱.۰	۱۰.۴	۲۵.۷	۴۶.۳	۶۱.۵	۸۰.۶۸	۲.۰۵۰	۱.۰۰۵
CSJ8-	.۰۰	.۰.۰۷	۲۶.۴۰	.۰.۱۰	.۰۹۳	۲.۹۳	.۱.۱۱	۲۱.۲۲	۸.۲۶	۵۰.۵	۲۱.۰	۱۰.۴	۲۵.۷	۴۶.۳	۶۱.۵	۸۰.۶۸	۲.۰۵۰	۱.۰۰۵
CSJ8-	.۰۰	.۰.۰۷	۲۶.۴۰	.۰.۱۰	.۰۹۳	۲.۹۳	.۱.۱۱	۲۱.۲۲	۸.۲۶	۵۰.۵	۲۱.۰	۱۰.۴	۲۵.۷	۴۶.۳	۶۱.۵	۸۰.۶۸	۲.۰۵۰	۱.۰۰۵
CSJ8-	.۰۰	.۰.۰۷	۲۶.۴۰	.۰.۱۰	.۰۹۳	۲.۹۳	.۱.۱۱	۲۱.۲۲	۸.۲۶	۵۰.۵	۲۱.۰	۱۰.۴	۲۵.۷	۴۶.۳	۶۱.۵	۸۰.۶۸	۲.۰۵۰	۱.۰۰۵
CSJ8-	.۰۰	.۰.۰۷	۲۶.۴۰	.۰.۱۰	.۰۹۳	۲.۹۳	.۱.۱۱	۲۱.۲۲	۸.۲۶	۵۰.۵	۲۱.۰	۱۰.۴	۲۵.۷	۴۶.۳	۶۱.۵	۸۰.۶۸	۲.۰۵۰	۱.۰۰۵
CSJ8-	.۰۰	.۰.۰۷	۲۶.۴۰	.۰.۱۰	.۰۹۳	۲.۹۳	.۱.۱۱	۲۱.۲۲	۸.۲۶	۵۰.۵	۲۱.۰	۱۰.۴	۲۵.۷	۴۶.۳	۶۱.۵	۸۰.۶۸	۲.۰۵۰	۱.۰۰۵
CSJ8-	.۰۰	.۰.۰۷	۲۶.۴۰	.۰.۱۰	.۰۹۳	۲.۹۳	.۱.۱۱	۲۱.۲۲	۸.۲۶	۵۰.۵	۲۱.۰	۱۰.۴	۲۵.۷	۴۶.۳	۶۱.۵	۸۰.۶۸	۲.۰۵۰	۱.۰۰۵
CSJ8-	.۰۰	.۰.۰۷	۲۶.۴۰	.۰.۱۰	.۰۹۳	۲.۹۳	.۱.۱۱	۲۱.۲۲	۸.۲۶	۵۰.۵	۲۱.۰	۱۰.۴	۲۵.۷	۴۶.۳	۶۱.۵	۸۰.۶۸	۲.۰۵۰	۱.۰۰۵
CSJ8-	.۰۰	.۰.۰۷	۲۶.۴۰	.۰.۱۰	.۰۹۳	۲.۹۳	.۱.۱۱	۲۱.۲۲	۸.۲۶	۵۰.۵	۲۱.۰	۱۰.۴	۲۵.۷	۴۶.۳	۶۱.۵	۸۰.۶۸	۲.۰۵۰	۱.۰۰۵
CSJ8-	.۰۰	.۰.۰۷	۲۶.۴۰	.۰.۱۰	.۰۹۳	۲.۹۳	.۱.۱۱	۲۱.۲۲	۸.۲۶	۵۰.۵	۲۱.۰	۱۰.۴	۲۵.۷	۴۶.۳				

ادامه جدول ۱

Dehsalm mineralized samples

Dsl2-01	۱,۵۹	-۰,۰۷	۱۲,۱۸	-۰,۰۹	-۰,۸۰	۲,۰۶	-۰,۶۱	۱۰,۶۶	۲,۶۲	۳۸,۳	۱۴,۵	۶۲	۱۴,۲	۱۴۵	۲۴,۶	۸-۳۴	۴۹۰۰	۴۷۷۸
Dsl2-02	۱,۲۹	-۰,۰۵	۲۵,۶۴	-۰,۱۶	۴,۰۱	۸,۱۱	۱,۳۳	۲۸,۸۶	۸,۸۹	۸۷,۲	۲۹,۸	۱۲۰	۲۷,۲	۲۵۷	۴۲,۲	۸۱۹۸	۱۴۴۴۴	۱۱۲۷۷
Dsl2-03	۱,۸۱	-۰,۰۵	۱۴,۱۴	-۰,۰۵	۱,۰۴	۱,۷۵	-۰,۴۳	۷,۵۹	۲,۶۰	۲۷,۸	۱۰,۳	۴۵	۱۱	۱۱۴	۲۰	۷۷۷۸	۴۷۱۳	۴۷۴۱
Dsl2-04	۱,۵۴	-۰,۱۱	۱۸,۲۵	-۰,۰۸	۱,۴۸	۲,۹۶	-۰,۶۶	۱۰,۶۵	۲,۹۱	۳۲,۶	۱۳	۵۳	۱۳,۹	۱۵۱	۲۱,۹	۶۸۴۷	۵۶۵۱	۷۳۴۱
Dsl2-05	۱,۱۹	-۰,۰۹	۱۴,۳۰	-۰,۰۶	۱,۲۲	۱,۹۶	-۰,۵۴	۱۱,۱۲	۲,۳۷	۳۵,۵	۱۳,۸	۵۹	۱۴,۲	۱۴۷	۲۲,۸	۷۶۲۷	۴۵۷۹	۵۱۱۳
Dsl2-06	۰,۹۵	-۰,۱۳	۱۸,۲۶	-۰,۱۴	۱,۸۶	۲,۷۷	-۰,۵۲	۱۲,۵۰	۲,۹۵	۴۲,۶	۱۶	۶۹	۱۷,۷	۱۹۶	۲۹,۷	۷۳۳۲	۸۲۳۳	۹۴۷۰
Dsl2-07	۱,۱۹	-۰,۰۳	۱۷,۷۸	-۰,۱۹	۳,۱۷	۵,۱۲	۱,۰۱	۲۰,۹۳	۶,۳۰	۶۰,۵	۲۱,۶	۹۱	۲۱	۲۰۹	۳۵,۸	۷۷۰۷	۸۵۸۲	۷۳۲۴
Dsl2-08	۱,۴۸	-۰,۰۴	۱۸,۱۱	-۰,۱۵	۲,۲۲	۵,۵۱	۱,۲۱	۲۰,۶۱	۶,۴۶	۶۲,۸	۲۲	۸۸	۲۰,۱	۱۹۷	۳۲,۵	۷۳۵۵	۷۰۵۸	۵۳۴۷
Dsl2-09	۱,۴۹	-۰,۰۷	۲۱,۶۱	-۰,۴۶	۶,۸۱	۸,۹۱	-۰,۲۰	۲۰,۹۰	۹,۰۲	۹۱	۳۲,۸	۱۳۸	۳۰,۸	۳۱۲	۵۰,۶	۷۵۳۴	۱۴۲۴۵	۱۱۴۰۵
Dsl2-10	۱,۰۵	-۰,۰۶	۱۷,۹۵	-۰,۰۷	۱,۲۱	۲,۰۱	-۰,۵۹	۹,۳۰	۳,۰۷	۳۳,۵	۱۲,۱	۵۳	۱۳,۴	۱۳۹	۲۳,۶	۷۶۵۲	۷۹۳۰	۸۵۴۲
Dsl2-11	۱,۷۴	-۰,۰۵	۱۷,۶۸	-۰,۰۷	-۰,۹۸	۱,۷۶	-۰,۳۹	۷,۷۱	۲,۳۸	۲۴,۶	۸,۷	۳۵	۸,۷	۱۰,۵	۱۲۹	۶۲۵۱	۵۴۶۰	۷۰۵۰
Dsl2-12	۱,۸۷	-۰,۰۶	۱۲,۶۸	-۰,۰۵	-۰,۷۹	۱,۶۵	-۰,۴۶	۹,۷۶	۲,۹۷	۳۲,۴	۱۱,۴	۵۰	۱۱,۶	۱۲۰	۲۰,۹	۷۶۲۸	۵۱۴۱	۴۵۶۹
Dsl2-13	۱,۳۱	-۰,۰۹	۱۶,۷۰	-۰,۱۳	۱,۴۰	۲,۴۸	-۰,۶۲	۱۱,۳۰	۳,۴۰	۳۶	۱۲,۵	۵۳	۱۳,۶	۱۵۰	۲۰,۷	۶۵۴۴	۵۶۲۸	۶۸۲۵
Dsl2-14	۱,۱۶	-۰,۲۵	۲۰,۶۴	-۰,۲۰	۲,۵۲	۳,۹۱	-۰,۸۵	۱۶,۶۱	۵,۲۴	۵۲,۶	۱۹,۸	۸۶	۲۰,۳	۱۹۲	۲۶,۳	۸۴۸۱	۱۱۲۶۹	۹۲۰۴
Dsl2-15	۱,۲۵	-۰,۰۶	۲۴,۴۸	-۰,۱۰	۱,۹۳	۲,۵۴	-۰,۴۴	۱۲,۰۲	۴,۱۵	۴۲	۱۵,۱	۶۶	۱۶,۱	۱۶۵	۲۷,۴	۸۳۸۵	۱۱۰۵۴	۱۱۳۶۳
Dsl2-16	۱,۰۶	-۰,۰۵	۱۹,۱۳	-۰,۳۱	۳,۵۳	۴,۴۷	۱,۲۱	۱۹,۶۲	۶,۱۶	۶۶,۹	۲۲,۷	۹۴	۲۲	۲۶۶	۲۶,۶	۷۳۸۶	۱۲۰۴۲	۱۱۷۵۹
Dsl2-17	۰,۸۹	-۰,۲۰	۲۴,۵۸	-۰,۱۹	۲,۳۳	۵,۲۲	۱,۲۰	۲۳,۰۸	۷,۱۰	۷۱,۱	۲۵,۷	۱۱۲	۲۷,۵	۲۷۶	۴۸,۸	۸۶۸۵	۱۴۶۷۳	۱۳۸۱۳
Dsl2-18	۰,۷۶	-۰,۱۰	۱۱,۷۸	-۰,۰۵	-۰,۵۴	۲,۲۷	-۰,۶۴	۹,۹۰	۳,۳۸	۳۵,۷	۱۳,۵	۵۹	۱۴,۵	۱۴۱	۲۶,۲	۹۰۲۰	۵۸۳۹	۵۶۴۸
Dsl2-19	۰,۸۶	-۰,۰۸	۱۷,۸۲	-۰,۰۶	-۰,۵۰	۱,۳۷	-۰,۳۱	۷,۳۹	۲,۶۰	۲۸,۵	۱۰,۹	۴۹	۱۲,۵	۱۲۹	۲۴,۱	۸۸۳۸	۷۰۳۹	۷۹۳۰
Dsl2-20	۱,۵۲	-۰,۰۵	۱۶,۳۷	-۰,۲۰	۲,۹۸	۴,۷۶	۱,۲۱	۱۹,۳۱	۵,۰۲	۵۶,۶	۲۰,۳	۸۳	۲۰,۳	۱۹۸	۳۲,۵	۷۹۳۶	۸۱۲۳	۶۵۷۴
Dsl2-21	۱,۷۸	-۰,۰۸	۱۴,۷۵	-۰,۰۹	۱,۲۹	۴,۰۱	-۰,۹۰	۱۵,۳۷	۴,۰۸	۴۷,۴	۱۶۶	۶۷	۱۶,۲	۱۵۹	۲۵,۹	۸۱۰۸	۶۳۵۴	۵۳۲۹
Dsl4-01	-۰,۸۰	-۰,۰۹	۱۵,۷۱	-۰,۴۷	۶,۱۵	۸,۱۳	-۰,۵۷	۳۱,۵۶	۹,۱۷	۹۲,۱	۳۳,۶	۱۴۱	۳۱	۲۹۵	۵۱,۹	۷۴۰۰	۷۰۰۵	۴۹۰۳
Dsl4-02	۱,۰۷	-۰,۰۷	۱۱,۲۷	-۰,۲۰	۳,۴۸	۴,۸۸	-۰,۹۲	۱۷,۰۲	۵,۱۳	۵۱,۳	۱۹,۹	۸۶	۱۹,۵	۱۸۰	۳۳,۱	۷۹۴۰	۴۲۷۰	۳۸۶۱
Dsl4-03	۱,۴۰	-۰,۱۲	۱۶,۷۱	-۰,۵۸	۸,۰۱	۱۱,۰۱	۱,۷۲	۳۹,۹۳	۱۱,۱۱	۱۰,۱۶	۳۵,۵	۱۴۱	۳۰,۱	۲۷۸	۴۷,۲	۷۵۲۲	۱۰۰۶۳	۷۷۸۲
Dsl4-04	۱,۰۹	-۰,۰۹	۱۷,۸۳	-۰,۰۶	۱,۲۴	۲,۴۱	-۰,۸۴	۱۰,۵۶	۳,۴۷	۳۵,۷	۱۳,۹	۵۹	۱۴,۷	۱۶۱	۲۴,۳	۷۳۱۶	۳۶۹۶	۴۱۱۴
Dsl4-05	-۰,۹۰	-۰,۰۸	۲۱,۰۹	-۰,۶۵	-۰,۰۲	۱۱,۱۶	۱,۷۶	۴۴,۴۳	۱۲,۸۶	۱۱۹,۳	۴۱,۹	۱۶۶	۳۶,۱	۳۴۲	۵۴,۸	۷۱۴۳	۱۳۹۸۹	۱۱۰۴۸
Dsl4-06	۱,۴۸	-۰,۱۰	۲۱,۰۳	-۰,۶۳	۹,۱۶	۱۱,۰	۱,۷۶	۴۳,۳۳	۱۲,۵۵	۱۲۲,۳	۴۲,۷	۱۷۲	۲۷,۵	۳۶۲	۵۶,۷	۷۲۴۷	۱۳۵۱۳	۱۰۳۹۳
Dsl4-07	-۰,۹۰	-۰,۰۸	۱۷,۷۰	-۰,۰۶	۱,۰۴	۱,۷۷	-۰,۷۱	۱۰,۶۳	۳,۳۵	۳۶,۱	۱۳,۳	۵۷	۱۳,۸	۱۴۸	۲۴,۷	۷۸۵۱	۴۸۷۶	۴۹۵۲
Dsl4-08	-۰,۹۹	-۰,۰۷	۱۸,۴۸	-۰,۳۴	۵,۵۱	۹,۰۸	-۰,۵۲	۳۰,۰۹	۸,۴۸	۸۶۷	۲۹,۳	۱۲۶	۲۸,۲	۲۷۲	۴۴,۹	۷۳۷۷	۷۶۶۳	۵۲۷۳
Dsl4-09	۱,۸۰	-۰,۲۲	۲۱,۶۱	-۰,۸۴	۸,۷۶	۱۲,۵۳	-۰,۴۴	۴۳,۶۵	۱۲,۸۸	۱۲۴,۶	۴۴,۸	۱۸۲	۴۱,۶	۳۷۹	۶۴,۳	۷۰۱۲	۱۴۵۴۱	۹۶۸۲
Dsl4-10	-۰,۶۸	-۰,۰۷	۱۲,۷۷	-۰,۰۹	۱,۲۵	۱,۸۴	-۰,۶۵	۹,۵۰	۲,۲۶	۳۵,۶	۱۳,۷	۶۲	۱۴,۸	۱۵۵	۲۸,۹	۷۷۹۷	۳۳۹۵	۳۷۰۸
Dsl4-11	۱,۵۰	-۰,۰۷	۱۲,۸۴	-۰,۰۸	۲,۰۳	۳,۰۲	-۰,۶۸	۱۲,۹۸	۳,۷۸	۳۷,۳	۱۳,۴	۵۷	۱۳,۶	۱۲۹	۲۲,۱	۷۲۰۳	۳۷۳۵	۳۴۹۰
Dsl4-13	۱,۳۰	-۰,۰۵	۱۵,۰۷	-۰,۳۹	۴,۵۲	۵,۶۴	-۰,۰۸	۲۴,۵۲	۸,۱۳	۶۲,۱	۲۳,۳	۹۴	۲۲,۳	۲۱۷	۳۳,۴	۶۹۷۶	۵۷۴۲	۵۹۴۲
Dsl4-14	-۰,۷۵	-۰,۰۸	۱۷,۶۳	-۰,۱۸	-۰,۳۳	۴,۵۵	۱,۵۰	۲۱,۹۹	۶,۴۹	۶۷,۳	۲۴,۱	۹۹	۲۲,۲	۲۲۹	۳۸,۱	۴۲۷۷	۶۶۰۹	۴۸۲۶
Dsl4-15	-۰,۸۷	-۰,۰۹	۱۲,۶۸	-۰,۱۰	-۰,۹۱	۲,۰۲	-۰,۶۳	۸,۰۹	۲,۹۹	۳۱	۱۱,۵	۵۲	۱۲,۴	۱۲۲	۲۱,۷	۷۶۰۵	۳۵۲۳	۳۱۹۷
Dsl4-16	-۰,۲۵	-۰,۰۶	۶۱,۰۳	-۰,۰۷	۱,۶۹	۳,۹۰	۱,۴۸	۲۵,۱۹	۱۰,۰۳	۱۲۰,۴	۵۰,۸	۲۳۳	۵۵,۹	۵۴۹	۹۸,۹	۷۷۶۱	۲۰۳۴۷	۱۲۴۴۶
Dsl4-18	۱,۰۴	-۰,۱۰	۱۱,۶۶	-۰,۰۵	-۰,۷۴	۱,۲۶	-۰,۵۰	۷,۶۱	۲,۴۸	۲۷,۸	۱۰,۵	۴۶	۱۲,۱	۱۲۹	۲۰,۲	۷۲۰۰	۲۱۸۰	۲۳۶۸
Dsl4-19	۱,۱۱	-۰,۰۵	۱۲,۷۹	-۰,۰۵	-۰,۹۲	۱,۹۰	-۰,۶۹	۸,۹۶	۲,۹۴	۳۰,۴	۱۱,۴	۵۰	۱۲,۴	۱۲۹	۲۲,۱	۷۵۴۲	۳۰۲۴	۲۹۰۵
Dsl4-20	۱,۲۹	-۰,۰۸	۱۶,۱۲	-۰,۰۶	۱,۲۹	۲,۵۷	-۰,۶۱	۱۰,۵۳	۳,۴۷	۳۵,۶	۱۳,۳	۵۶	۱۳	۱۲۰	۲۲,۵	۷۸۸۱	۴۱۲۵	۳۷۳۳

جدول ۲ مقادیر fO_2 و دمای T^* در زیرکن محاسبه شده برای زیرکن‌های ماقمایی توده‌های نفوذی کانه‌دار چاه شلغمی و دده‌سلم.

Sample	Eu/Eu*	Ce ⁴⁺ /Ce ³⁺	T*(°K)	1σ	Log fO ₂ (1σ)	ΔFMQ (1σ)
<i>Chah Shaljami mineralized samples</i>						
CSJ3-01	-0.39	98	813	18	-23.16 (1.43)	-0.93 (1.43)
CSJ3-02	-0.65	17	844	19	-21.70 (1.36)	-0.64 (1.36)
CSJ3-03	-0.31	116	813	18	-22.74 (1.36)	-1.2 (1.36)
CSJ3-04	-0.28	165	818	18	-22.95 (1.50)	-0.94 (1.50)
CSJ3-05	-0.37	60	852	19	-22.54 (1.36)	-1.75 (1.36)
CSJ3-06	-0.34	151	8.1	17	-22.89 (1.53)	-1.20 (1.53)
CSJ3-07	-0.53	22	872	18	-22.75 (1.40)	-0.75 (1.40)
CSJ3-08	-0.65	40	828	18	-22.77 (1.41)	-1.08 (1.41)
CSJ3-09	-0.54	14	868	19	-21.70 (1.37)	-1.49 (1.37)
CSJ3-10	-0.43	170	837	18	-22.15 (1.55)	-0.82 (1.55)
CSJ3-11	-0.32	128	8.0	17	-23.59 (1.50)	-0.87 (1.50)
CSJ3-12	-0.38	149	810	18	-23.16 (1.53)	-0.84 (1.53)
CSJ3-13	-0.38	93	8.3	17	-23.50 (1.47)	-0.90 (1.47)
CSJ3-14	-0.46	68	834	18	-22.38 (1.52)	-0.96 (1.52)
CSJ3-15	-0.37	247	813	18	-22.79 (1.44)	-1.08 (1.44)
CSJ3-16	-0.40	156	821	18	-22.85 (1.64)	-0.74 (1.64)
CSJ3-17	-0.37	74	813	18	-23.19 (1.45)	-0.98 (1.45)
CSJ3-18	-0.41	158	826	18	-22.88 (1.45)	-0.94 (1.45)
CSJ3-19	-0.44	215	879	17	-22.83 (1.51)	-0.86 (1.51)
CSJ3-21	-0.47	155	846	19	-22.10 (1.38)	-1.11 (1.38)
CSJ3-22	-0.32	102	826	18	-22.46 (1.48)	-0.74 (1.48)
CSJ3-24	-0.31	151	815	18	-22.76 (1.52)	-0.85 (1.52)
CSJ3-25	-0.40	136	825	18	-22.51 (1.41)	-1.11 (1.41)
CSJ8-01	-0.29	83	843	18	-22.00 (1.39)	-0.88 (1.39)
CSJ8-02	-0.40	58	824	18	-22.55 (1.41)	-0.74 (1.41)
CSJ8-03	-0.32	123	8.6	17	-22.95 (1.47)	-0.49 (1.47)
CSJ8-04	-0.29	187	810	18	-22.51 (1.71)	-0.71 (1.71)
CSJ8-05	-0.34	261	791	17	-22.32 (1.56)	-0.27 (1.56)
CSJ8-06	-0.43	295	785	17	-23.54 (1.60)	-0.23 (1.60)
CSJ8-07	-0.38	131	781	17	-23.77 (1.59)	-0.29 (1.59)
CSJ8-08	-0.35	170	818	18	-21.77 (1.82)	-0.29 (1.82)
CSJ8-09	-0.26	8	892	20	-20.70 (1.35)	-0.84 (1.35)
CSJ8-10	-0.39	73	786	17	-23.52 (1.52)	-0.24 (1.52)
CSJ8-11	-0.21	63	8.2	17	-24.21 (1.49)	-1.69 (1.49)
CSJ8-12	-0.37	166	794	17	-22.36 (1.51)	-0.80 (1.51)
CSJ8-13	-0.32	168	811	17	-23.98 (1.61)	-0.50 (1.61)
CSJ8-14	-0.38	76	817	18	-22.43 (1.51)	-0.33 (1.51)
CSJ8-15	-0.60	51	818	18	-22.25 (1.50)	-0.32 (1.50)
CSJ8-16	-0.47	22	845	19	-21.61 (1.37)	-0.56 (1.37)
CSJ8-17	-0.46	230	795	17	-22.58 (1.78)	-0.35 (1.78)
CSJ8-18	-0.48	142	813	18	-22.44 (1.57)	-0.21 (1.57)
CSJ8-19	-0.45	102	772	16	-22.70 (1.50)	-0.32 (1.50)
CSJ8-20	-0.45	106	788	17	-22.58 (1.56)	-0.28 (1.56)
CSJ8-21	-0.41	85	797	17	-22.10 (1.49)	-0.15 (1.49)
CSJ8-22	-0.30	143	826	18	-22.13 (1.46)	-0.40 (1.46)
CSJ9-02	-0.42	177	790	17	-23.83 (1.48)	-0.51 (1.48)
CSJ9-03	-0.37	98	8.6	17	-22.72 (1.47)	-0.25 (1.47)
CSJ9-04	-0.38	59	8.3	17	-22.10 (1.49)	-0.42 (1.49)
CSJ9-05	-0.48	208	796	17	-22.24 (1.55)	-0.38 (1.55)
CSJ9-07	-0.39	118	797	17	-22.30 (1.51)	-0.45 (1.51)
CSJ9-08	-0.42	191	773	17	-22.38 (1.55)	-0.54 (1.55)
CSJ9-09	-0.33	140	794	17	-22.31 (1.54)	-0.45 (1.54)
CSJ9-10	-0.41	119	766	16	-22.37 (1.57)	-0.24 (1.57)
CSJ9-11	-0.42	118	775	17	-22.45 (1.58)	-0.33 (1.58)
CSJ9-12	-0.34	72	797	17	-22.24 (1.55)	-0.40 (1.55)
CSJ9-13	-0.37	149	822	18	-22.51 (1.47)	-0.54 (1.47)
CSJ9-14	-0.41	195	8.4	17	-22.43 (1.47)	-0.89 (1.47)
CSJ9-15	-0.38	128	77-	16	-22.69 (1.57)	-0.74 (1.57)
CSJ9-16	-0.38	219	796	17	-22.87 (1.43)	-0.44 (1.43)
CSJ9-18	-0.47	55	8.3	17	-22.12 (1.49)	-0.52 (1.49)
CSJ9-19	-0.33	93	80-	19	-22.10 (1.42)	-1.74 (1.42)
CSJ9-20	-0.44	134	766	16	-22.79 (1.55)	-0.58 (1.55)
CSJ9-21	-0.43	151	794	17	-22.33 (1.49)	-0.40 (1.49)

ادامه جدول ۲

Dehsalm mineralized samples						
Dsl2-01	.۴۰	۴۸	۹۰۴	۲۰	-۲۰,۱۲ (۱,۲۸)	-۱,۱۳ (۱,۲۸)
Dsl2-02	.۲۷	۱۳	۸۸۹	۲۰	-۲۰,۲۵ (۱,۳۱)	-۰,۶۸ (۱,۳۱)
Dsl2-03	.۳۶	۴۵	۹۱۴	۲۱	-۱۹,۶۸ (۱,۲۷)	-۰,۴۰ (۱,۲۷)
Dsl2-04	.۳۶	۳۵	۹۰۲	۲۰	-۱۹,۷۷ (۱,۳۲)	-۰,۶۰ (۱,۳۲)
Dsl2-05	.۱۵	۲۸	۸۸۳	۲۰	-۲۰,۵۵ (۱,۳۱)	-۰,۸۰ (۱,۳۱)
Dsl2-06	.۲۸	۲۳	۸۸۷	۱۹	-۲۱,۰۹ (۱,۳۷)	-۰,۸۲ (۱,۳۷)
Dsl2-07	.۳۰	۱۳	۸۸۳	۲۰	-۲۰,۵۹ (۱,۳۱)	-۰,۸۴ (۱,۳۱)
Dsl2-08	.۳۵	۱۵	۸۹۹	۲۰	-۲۰,۰۳ (۱,۳۹)	-۰,۷۸ (۱,۳۹)
Dsl2-09	.۴۱	۷	۸۹۹	۲۰	-۲۰,۱۷ (۱,۳۰)	-۰,۹۱ (۱,۳۰)
Dsl2-10	.۴۲	۵۰	۸۷۴	۱۹	-۲۰,۸۸ (۱,۳۴)	-۰,۸۴ (۱,۳۴)
Dsl2-11	.۳۲	۵۰	۹۱۱	۲۱	-۱۹,۴۶ (۱,۳۱)	-۰,۵۷ (۱,۳۱)
Dsl2-12	.۳۵	۵۲	۹۱۶	۲۱	-۱۹,۶۷ (۱,۲۶)	-۰,۹۴ (۱,۲۶)
Dsl2-13	.۳۶	۳۴	۸۹۰	۲۰	-۲۰,۱۷ (۱,۳۲)	-۰,۶۵ (۱,۳۲)
Dsl2-14	.۲۲	۲۴	۸۸۱	۲۰	-۲۰,۵۷ (۱,۳۲)	-۰,۸۶ (۱,۳۲)
Dsl2-15	.۲۴	۴۲	۸۸۷	۲۰	-۲۰,۲۲ (۱,۳۳)	-۰,۶۸ (۱,۳۳)
Dsl2-16	.۴۰	۱۶	۸۷۵	۱۹	-۲۰,۰۷ (۱,۶۱)	-۰,۸۶ (۱,۶۱)
Dsl2-17	.۳۳	۲۸	۸۶۳	۱۹	-۲۱,۱۹ (۱,۶۰)	-۰,۶۸ (۱,۶۰)
Dsl2-18	.۴۱	۵۸	۸۵۳	۱۹	-۲۱,۹۴ (۱,۴۱)	-۱,۱۷ (۱,۴۱)
Dsl2-19	.۳۰	۱۲۸	۸۶۱	۱۹	-۲۱,۱۸ (۱,۵۰)	-۰,۷۱ (۱,۵۰)
Dsl2-20	.۳۸	۱۳	۹۰۱	۲۰	-۲۰,۰۲ (۱,۳۵)	-۰,۸۳ (۱,۳۵)
Dsl2-21	.۳۵	۲۴	۹۱۳	۲۱	-۱۹,۶۹ (۱,۳۱)	-۰,۸۶ (۱,۳۱)
Dsl4-01	.۴۹	۶	۸۵۶	۱۹	-۲۱,۱۵ (۱,۳۵)	-۰,۶۸ (۱,۳۵)
Dsl4-02	.۳۱	۸	۸۷۶	۱۹	-۲۱,۱۴ (۱,۳۲)	-۱,۲۵ (۱,۳۲)
Dsl4-03	.۲۵	۳	۸۹۵	۲۰	-۲۰,۰۸ (۱,۳۲)	-۱,۳۱ (۱,۳۲)
Dsl4-04	.۵۱	۴۶	۸۷۷	۱۹	-۲۰,۱۴ (۱,۳۳)	-۰,۳۹ (۱,۳۳)
Dsl4-05	.۲۴	۵	۸۶۴	۱۹	-۲۱,۱۷ (۱,۴۱)	-۱,۰۰ (۱,۴۱)
Dsl4-06	.۲۴	۵	۸۹۹	۲۰	-۲۰,۰۸ (۱,۳۵)	-۱,۰۴ (۱,۳۵)
Dsl4-07	.۵۰	۶۱	۸۶۴	۱۹	-۲۰,۰۹ (۱,۳۵)	-۰,۶۰ (۱,۳۵)
Dsl4-08	.۴۷	۷	۸۷۰	۱۹	-۲۰,۰۸ (۱,۳۳)	-۰,۶۸ (۱,۳۳)
Dsl4-09	.۲۲	۵	۹۱۳	۲۱	-۱۹,۸۵ (۱,۳۱)	-۱,۰۴ (۱,۳۱)
Dsl4-10	.۴۷	۴۱	۸۴۵	۱۹	-۲۱,۱۳ (۱,۳۷)	-۰,۸۱ (۱,۳۷)
Dsl4-11	.۲۳	۱۸	۹۰۰	۲۰	-۲۰,۰۰ (۱,۲۹)	-۰,۷۸ (۱,۲۹)
Dsl4-13	.۲۱	۸	۸۸۹	۲۰	-۲۰,۰۵ (۱,۳۴)	-۰,۹۶ (۱,۳۴)
Dsl4-14	.۴۶	۲۰	۸۵۲	۱۹	-۲۱,۱۴ (۱,۳۶)	-۰,۶۴ (۱,۳۶)
Dsl4-15	.۴۸	۴۸	۸۶۲	۱۹	-۲۱,۱۲ (۱,۴۴)	-۰,۶۶ (۱,۴۴)
Dsl4-16	.۴۶	۱۷۱	۷۸۶	۱۷	-۲۲,۴۱ (۱,۴۹)	-۰,۸۸ (۱,۴۹)
Dsl4-18	.۴۹	۶۳	۸۷۴	۱۹	-۲۰,۶۶ (۱,۳۲)	-۰,۶۱ (۱,۳۲)
Dsl4-19	.۵۰	۴۵	۸۷۸	۲۰	-۲۰,۰۶ (۱,۳۲)	-۰,۷۳ (۱,۳۲)
Dsl4-20	.۳۶	۳۶	۸۸۹	۲۰	-۲۰,۱۹ (۱,۳۰)	-۰,۶۳ (۱,۳۰)

ظرفیت (Ce^{3+}) و Ce^{4+} قرار میگیرد، و fO_2 را میتوان ترکیب معادلات (۲) و (۳) بدست آورد.

$$(Ce/Ce^*)_D = D_{Ce}^{zircon/melt} / (D_{La}^{zircon/melt} \times D_{Pr}^{zircon/melt})^{1/2} \quad (2)$$

$$\text{معادله (۳)} \quad (Ce/Ce^*)_D = D_{Ce}^{zircon/melt} / (D_{La}^{zircon/melt} \times D_{Pr}^{zircon/melt}) \quad (3)$$

$\ln (Ce/Ce^*)_D = (0.1156 \pm 0.0050 \times \ln fO_2) + ((13.860 \pm 708) / (T + 273.15)) - (6.15 \pm 0.484)$ که در آن D_0 ضریب تفکیک جبران کرنش، E مدول یانگ، N_A عدد آووگادرو، R ثابت گاز و T دما (سانتی گراد) است. حاصل پلات کردن $\ln D_i$ در مقابل عبارت $(ri/3 + r_0/6) \times (r_i - r_0)^2$ یک رابطه خطی برای سری های از کاتیون های هم ظرفیت است. از آنجائیکه شاعع یونی Ce^{3+} و Ce^{4+} معلوم است، ضریب تفکیک-اشان را می توان با درون یابی بدست آورد. فوگاسیته های اکسیژن ($\log fO_2$) در این مطالعه با استفاده از روش های کالیبراسیون [۳۳] و [۳۶] محاسبه شد. در این مدل کالیبراسیون فوگاسیته اکسیژن به پارامتر های دما، نسبت Ce^{4+}/Ce^{3+} مذاب، ترکیب و مقدار آب مذاب بستگی دارد. مقدار $D_{Ce}^{zircon/melt}$ بین ضرایب تفکیک دو عضو انتهایی حالت

$$\ln D_i = \ln D_0 - (4 \times E \times N_A \times (ri/3 + r_0/6) \times (r_i - r_0)^2) / (R \times (T + 273.15)) \quad (1)$$

که در آن D_0 ضریب تفکیک جبران کرنش، E مدول یانگ، N_A عدد آووگادرو، R ثابت گاز و T دما (سانتی گراد) است. از آنجائیکه شاعع یونی Ce^{3+} و Ce^{4+} معلوم است، ضریب تفکیک-اشان را می توان با درون یابی بدست آورد. فوگاسیته های اکسیژن ($\log fO_2$) در این مطالعه با استفاده از روش های کالیبراسیون فوگاسیته اکسیژن به پارامتر های دما، نسبت Ce^{4+}/Ce^{3+} مذاب، ترکیب و مقدار آب مذاب بستگی دارد. مقدار $D_{Ce}^{zircon/melt}$ بین ضرایب تفکیک دو عضو انتهایی حالت

این دماهای Ti در زیرکن کم احتمالاً نشان‌دهنده این است که زیرکن تحت شرایط دمایی زیر سولیدوس (خط انجماد) همراه با مگماهای غنی از آب متبلور شده [۳۹]، یا مگماهای مولدشان قبل از تبلور زیرکن متتحمل تفريق آمفیبیول شده‌اند. احتمالاً تفريق آمفیبیول توانسته بطور موثری ترکیبات مذاب را به مقادیر TiO_2 کمتر پیش برد [۴۰]، و بنابراین مقدار TiO_2 موجود برای زیرکن‌های های متبلورشده بعدی را تهی کرده و سبب شده تا زیرکن‌های حاصل مقادیر Ti و مقادیر دمایی Ti در زیرکن محاسبه شده کمتری داشته باشند. وجود آمفیبیول به عنوان یک کانی فرومیزین اصلی در توده‌های نفوذی چاه‌شلغمی و دهسلم که در بخش زمین‌شناسی بدان اشاره شد، می‌تواند به عنوان فاکتور کنترل‌کننده TiO_2 عمل کرده باشد. Carley و همکاران [۱۴] دریافتند که زیرکن‌های رژیم‌های تکتونیکی که هیچ اثر فرورانشی در آنها تاثیر نگذاشته یا هیچ یا کمی لیتوسفر قاره‌ای در آنها تاثیر گذاشته، مانند زیرکن‌های جزایر قوسی و MORB، بطور قابل ملاحظه‌ای دارای مقادیر Ti و MREE و MREE بالاتر از مقادیر کمان‌های فانروزوئیکاند. آنها نتیجه گرفتند که این مسئله بیانگر مگماهای سردوتر و آبدارتر در محیط‌های فرورانش است. اگر چنین باشد، مطمئناً باید دماهای Ti در زیرکن کمی در زیرکن‌های ذخایر مس پورفیری همراه با مگماهای حاشیه همگرا مشاهده کنیم (مانند [۴۱، ۱۵] و این مقاله)، بنابراین با توجه به مطالب فوق، زیرکن‌های مگماهای چاه‌شلغمی و دهسلم در شرایط فرورانش حاشیه قاره تشکیل شده‌اند.

فوگاسیته اکسیژن چند ذخیره مس پورفیری مهم دنیا دارای مقدار میانگین $+1/5 \Delta F\text{MQ}$ است [۴۴-۴۲]. عدد جادویی فوگاسیته اکسیژن برای کانی‌سازی پورفیری بالاتر از $\Delta F\text{MQ} + 2$ است [۴۶، ۴۵]. عناصر کالکوفیل مس، طلا و مولیبدن ضرایب تفکیک بالایی بین سولفید و مذاب دارند. رفتارهای مس و طلا شدیداً توسط سولفید کنترل می‌شود. در طی ذوب شدن گوشه، مس و همچنین طلا و مولیبدن عناصری بطور متوسط ناسازگار هستند [۴۸، ۴۷]. مقدار مس تخمینی در گوشه 30 p.p.m است [۴۲]، در حالیکه مقادیر مس در MORB بازمای از 70 تا 150 p.p.m دارد [۴۹، ۴۷]. زمانیکه هیچ سولفید باقیماندهای در منبع گوشه‌ای وجود ندارد، مس و عناصر کالکوفیل بسیار ناسازگار می‌شوند [۵۱، ۵۰]. مقدار گوگرد در گوشه اولیه حدوداً $250 - 200 \text{ p.p.m}$ است [۴۲]، و در گوشه تهی شده حدود 150 p.p.m [۵۳، ۵۲]، تخمین زده می‌شود. در مقابل پریدوتیت گوشه،

Ti در زیرکن از روش [۳۷] بدست آمد. دماستج Ti در زیرکن امکان محاسبه دمای تبلور زیرکن را با استفاده از مقدار Ti (ppm) زیرکن (Ti_{zircon}) و اکتیویته‌های $(aSiO_2)$ و (SiO_2) در مذاب میزان از طریق معادله (۴) می‌دهد:

$$\log Ti_{\text{zircon}} = (5.711 \pm 0.072) - (4.800 \pm 86) / (T + 273.15) - \log a_{SiO_2} + \log a_{TiO_2}$$

که در مدل Brenan و Smythe [۳۳] مقادیر اکتیویته SiO_2 را به ترتیب بصورت 1 و $7/0$ فرض کنیم.

بخاطر اینکه مگماهای کانه‌دار بطور شاخص غنی از آب هستند (بیش از 10 درصد مقدار آب مگماهای پورفیری کانه‌دار گزارش شده [۳۸]، مقدار آب مگماهای پورفیری $6/5$ درصد وزنی فرض شد. برای محاسبه خطای فوگاسیته اکسیژن، خطاهای آنالیزی هر دوی عناصر فرعی زیرکن و عناصر اصلی و فرعی سنگ کل مورد توجه قرار گرفت (جدول ۲).

دماهای Ti در زیرکن، مقادیر Ce^{4+}/Ce^{3+} و فوگاسیته‌های اکسیژن ($\log fO_2$) محاسبه شده زیرکن

دماهای بدست آمده برای زیرکن‌های چاه‌شلغمی از 796 تا 892 $^{\circ}\text{K}$ (با میانگین 810 ± 619 تا 523 ± 537 $^{\circ}\text{K}$) و برای زیرکن‌های دهسلم از 786 تا 916 $^{\circ}\text{K}$ (با میانگین 881 ± 513 تا 643 ± 640 $^{\circ}\text{C}$) است. براساس داده‌های محاسباتی جدول ۲، مقادیر Ce^{4+}/Ce^{3+} بدست آمده برای زیرکن‌های سه نفوذی کانه‌دار چاه شلغمی در بازه 8 تا 295 با میانگین 125 و دو نمونه دهسلم در بازه 3 تا 171 با میانگین 35 قرار گرفت. مقدار میانگین مجموع نمونه‌های چاه شلغمی و دهسلم در بازه 3 تا 295 با میانگین 90 است (جدول ۲).

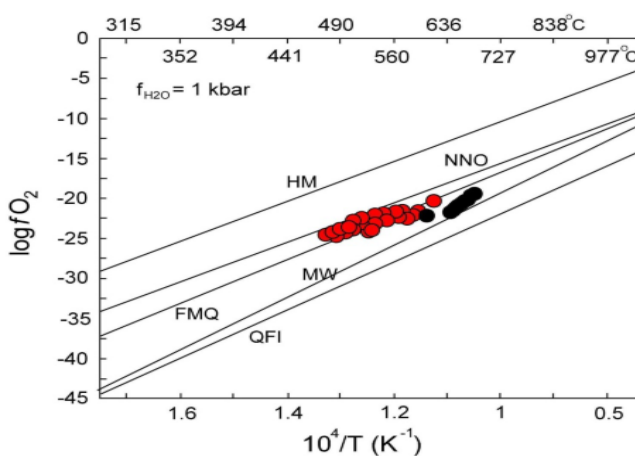
مقادیر فوگاسیته اکسیژن محاسبه شده مگماهای پورفیری برای زیرکن‌های سه نفوذی کانه‌دار چاه شلغمی در بازه $-1/8$ تا $+0/6 \Delta F\text{MQ}$ با میانگین $-0/6 \Delta F\text{MQ}$ و برای $-0/4$ تا $-0/1 \Delta F\text{MQ}$ با میانگین $-0/8 \Delta F\text{MQ}$ در بازه محدود $-1/8$ تا $-0/4 \Delta F\text{MQ}$ با میانگین $-0/8 \Delta F\text{MQ}$ قرار گرفت (جدول ۲). مقدار میانگین مجموع نمونه‌های چاه شلغمی و دهسلم در بازه $-1/8$ تا $+0/6 \Delta F\text{MQ}$ با میانگین $-0/7 \Delta F\text{MQ}$ قرار گرفت (جدول ۲).

بحث

زیرکن‌های چاه‌شلغمی و دهسلم با مقادیر Ti کم (به ترتیب < 2 و $> 2 \text{ p.p.m}$) دارای دماهای تبلور کم و مشابه (و/یا کمتر) با بازه دماهای گزارش شده از نمونه‌های کمان مگماهای جاهای دیگر است (مانند سنگ‌های نفوذی اسیدی-حدواست Sierra نوادا، با دماهای Ti در زیرکن به میزان 651 ± 136 $^{\circ}\text{C}$ (Fu et al., 2008; $n = 130$; $Ti = 4.5 \pm 8.5 \text{ ppm}$)

شده است [۵۴,۸]. با توجه به مطالب بالا مقادیر فوگاسیته اکسیژن محاسبه شده مربوط به هر دوی ماقماهای پورفیری چاه شلغمی (باže $\Delta\text{FMQ} = 1/8$) تا $+0,6$ ΔFMQ و چاه شلغمی (باže $\Delta\text{FMQ} = -0,4$) تا $-0,4$ ΔFMQ از دهسلم (باže $\Delta\text{FMQ} = -1/3$) به مقدار رایج ذخایر مس پورفیری دنیا ($\Delta\text{FMQ} = +1/5$) به ترتیب به میزان حداقل $+1 \sim \Delta\text{FMQ} + 2$ واحد کمتر است که نشان دهنده شرایط اکسیداسیونی نامطلوب ماقماهای کانه‌دار چاه شلغمی و دهسلم است. در نمودار روابط ماقماهای Ni-NiO (NNO) و نمونه‌های دهسلم بین خط بافر فایالیت-مگنتیت-کوارتز (FMQ) و بافر مگنتیت-ووستیت (MW) قرار گرفتند (شکل ۵). نمونه‌های چاه شلغمی شرایط اکسیدان تری نسبت به نمونه‌های دهسلم نشان می‌دهند (شکل ۵). رخداد کانی‌سازی چاه شلغمی و دهسلم در زیر خط بافر هماتیت-مگنتیت (HM) (شکل ۵)، شرایط کانه‌زایی در چاه شلغمی و دهسلم از نظر اکسیداسیونی مطلوب کانی‌سازی پورفیری نیست. براساس ویژگی‌های کانی‌سازی که در بخش زمین‌شناسی و کانی‌سازی گفته شد، کانی‌سازی اصلی در چاه شلغمی شامل پیریت، مولیبدنیت، کالکوپیریت، اسفالریت، گالن و انارژیت و در دهسلم شامل پیریت + مولیبدنیت + گالن + اسفالریت + مگنتیت + کالکوپیریت است [۲۷,۲۸]. همرشدی‌های مگنتیت-هماتیت در هیچ‌کدام از مناطق یادشده گزارش نشده است. این حالت نیز موید عدم شرایط ایده‌آل ماقماهی پورفیری است.

MORB فوگاسیته اکسیژن بر سولفیدهای باقیمانده، و در نتیجه، مقدار مس در مذاب‌ها، با در نظر گرفتن ذوب بخشی صفحات اقیانوسی فروزانده، بسیار واضح‌تر می‌شود [۴۳]. غالباً نوع گوگرد در ماقماهای توسعه اکسیژن کنترل می‌شود [۶]. در فوگاسیته‌های اکسیژن پائین‌تر از بافر FMQ، سولفید نوع گوگرد غالب است [۶]. در $+2 \Delta\text{FMQ}$ اکثر گوگرد ماقماهای بصورت سولفات وجود دارد [۶]. آزمایش‌ها نشان داده که در ماقماهای سولفات حلایت خیلی بیشتری از سولفید دارد [۶]. در فوگاسیته‌های اکسیژن $+2,5 \Delta\text{FMQ}$ تا $+2,5 \Delta\text{FMQ}$ در چه سیستم اکسیدان تر شود، مقادیر گوگرد در ماقماهای بالاتر می‌رود [۴۲]. در فوگاسیته‌های اکسیژن بالاتر از $+2 \Delta\text{FMQ}$ ، بیشتر گوگرد در ماقماهای بصورت سولفات (مانند انیدریت) وجود دارد، و چنین ماقماهایی عموماً مقادیر بیشتری از مجموع گوگرد و عناصر کالکوفیل دارند [۴۳]. ذخایر مس-(مولیبدن)-(طلا) تقریباً همیشه به تزریق یک ماقمای آداسیتی اکسیدانی که با محلول‌های آبکی غنی از گوگرد و فلز غنی شده نسبت داده می‌شوند، یعنی ماقماهای مادر غنی از آب و اکسیدان اند [۱۱,۴۵]. همرشدی‌های مگنتیت و هماتیت دلالت بر این دارد که فوگاسیته‌های اکسیژن ذخایر پورفیری اغلب به مقادیر مشخص شده با بافر هماتیت-مگنتیت (HM) می‌رسند. سولفات یک شاخص رایج از فوگاسیته اکسیژن بالای ذخایر پورفیری است [۵۴,۵۵]. علاوه بر سولفات، هماتیت و اسپکیولاریت اولیه نیز در بسیاری از ذخایر پورفیری گزارش



شکل ۵ نمایش مقادیر فوگاسیته‌های اکسیژن ($\log f\text{O}_2$) زیرکن‌های توده‌های کانه‌دار چاه شلغمی (دایره‌های قرمز) و دهسلم (دایره‌های سیاه) در نمودار روابط $\log f\text{O}_2$ ، دما و $10^4/T$ برای بافرهای اکسیژن در ۱ کیلوبار [۵۶,۵۷]. دمایا با استفاده از دماستنج Ti در زیرکن [۳۷] محاسبه شده است. خطوط بافر اکسیژن شامل بافرهای مگنتیت-هماتیت (HM)، اکسید نیکل-نیکل اکسید (NNO)، اکسید نیکل-نیکل هماتیت-مگنتیت (FMQ)، مگنتیت-ووستیت (MW) و کوارتز-فایالیت-ایلمینیت (QFI) است.

گارنت لرزولیت در یک رژیم تکتونیکی کمان نرمال (عادی) است. همانطور که گفته شد، ذوب گوشه پریدوتیتی قادر به تولید ماقماهایی با مقادیر مس و گوگرد مطلوب تشکیل ذخایر مس پورفیری نیست. برای درک بهتر این موضوع ما مقادیر فوگاسیته اکسیژن ($\log fO_2$) ماقماهای کانه دار چاه شلغمی و دهسلم را با حالت اکسیداسیونی سنگ‌های مختلف (شکل ۷) [۶۱]، مقایسه کردیم. برای نمونه‌های چاه شلغمی با بازه وسیع فوگاسیته‌های اکسیژن نشان دهنده منشا ماقماهای گوشه زیرکمانی و/یا گوشه لیتوسفیری زیرقاره‌ای (SCLM) با دخالت اندک پوسته اقیانوسی فرورانده و برای نمونه‌های دهسلم گوشه عمیق (پریدوتیت) و/یا گوشه لیتوسفیری زیرقاره‌ای (SCLM) و عدم ارتباط با سیستم‌های ماقمای کمانی را نشان می‌دهد (شکل ۷). با توجه به این حالت و نیز قرارگیری نمونه‌های چاه شلغمی و دهسلم در زیر محدوده هماتیت-مگنتیت (HM) ماقماهای چاه شلغمی و دهسلم (شکل ۵)، ماقمای اولیه چاه شلغمی و بویژه دهسلم دارای مقادیر مس و گوگرد اولیه کمی بوده است. همچنین در fO_2 زیر بافر FMQ همه گوگرد انحلالی در مذاب بصورت S^{2-} است [۶]. این شرایط سبب می‌شود تا مس و طلای زیادی از سولفید باقیمانده در منبع گوشه‌ای وارد مذاب نشود، و ماقماهای حاصل از ذوب بخشی گوشه مقادیر فلزات مطلوبی با خود حمل نکند و ذخیره خوبی تشکیل نشود.

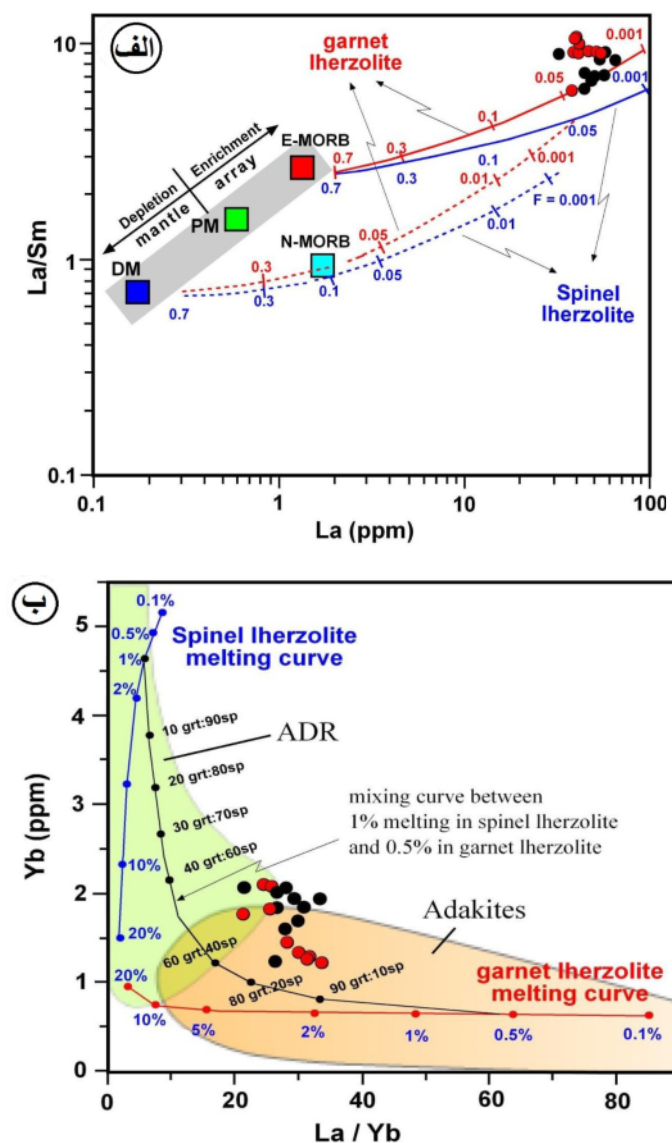
براساس نتایج مطالعات فرآیندهای کانه‌ساز در چاه شلغمی و دهسلم سیستم کانی‌سازی در هر دو منطقه از نوع Cu-Mo پورفیری بوده و در الیگوسن در یک کمان نرمال (عادی) رخداده که مربوط به ضخیم‌شدگی پوسته در نتیجه شروع تصادم صفحات افغان و لوت بوده است [۲۷]. براساس [۴۳] سنگ‌های کمان عادی (نرمال) برای کانی‌سازی مس پورفیری مطلوب نیستند. ماقماهای کمانی احتمالاً عناصر اقتصادی ارزشمند غنی شده‌ای مانند مس را با خود ندارند [۶۲]. در عوض، اغلب ذخایر مس پورفیری همراه با آداکیت‌ها [۶۳، ۶۴]، مطلوب کانی‌سازی مس پورفیری‌اند. اغلب آداکیت‌های کانی‌ساز از طریق ذوب صفحه فرورانش تشکیل شده‌اند [۶۴، ۶۵]، که از خود پوسته اقیانوسی در حال فرورانش مشتق می‌شود تا گوه گوشه‌ای روی آن [۴۳]. با توجه به مطالعه فوق، منشا گوشه پریدوتیتی متاسوماتوزشده با دخالت اندک صفحه فرورانش در یک کمان عادی (نرمال) شرایط مطلوبی برای نفوذی‌های کانه-

براساس مطالعات شیمی عنصر اصلی و فرعی سنگ‌کل قبلی، نفوذی‌های پورفیری کانه‌دار چاه شلغمی و دهسلم سنگ‌های کالک‌آلکالن پتاسیم بالا تا شوشونیتی پس از تصادم در کمان فرورانشی با برخی ویژگی‌های آداکیتی (آداکیت نوع C یا آداکیت‌های پتاسیم بالا پس از تصادمی) هستند [۲۶-۲۸]. این آداکیت‌ها فاقد ارتباط زمانی یا مکانی با فرورانش‌اند و نسبت K_2O/Na_2O تقریباً یکسانی دارند [۵۸]. روشیمی آنها بسیار شبیه آداکیت‌های شاخص است. این آداکیت‌ها با دمای بالاتری ($< 1050^\circ\text{C}$) درجه سانتی گراد) نسبت به ماقماهای آبدار ($\text{wt}\% H_2O \sim 6$)، از طریق ذوب بخشی بی‌آب متاتونالیت‌ها، متاندزیت‌ها، یا احتمالاً متبازنالیت‌های پتاسیم‌دار در فشارهای بیش از 2 GPa تشکیل می‌شوند [۵۸]. شیمی خاص آداکیت نوع C نتیجه هر دو پارامتر افزایش K_2O/Na_2O در پروتولیت و ذوب بخشی در فشار خیلی زیاد است [۵۸]. محتمل‌ترین رژیم تکتونیکی شامل ضخیم‌شدگی شدید پوسته است که به دنبال تورق پوسته اکلوژیتی و ذوب بخشی این بخش از پوسته قاره‌ای در اعماق گوشه، با جریان گرمای بالای گوشه‌ای، در هنگام رمبش (فروپاشی) کوهزایی انجام می‌شود [۵۸]. نسبت-های زیاد LREE/HREE نفوذی‌های دهسلم مشابه با سنگ-های آداکیتی، به وجود گارنت و آمفیبول باقیمانده در یک منبع گوشه‌ای نسبت داده شده است [۲۸]. روشیمی ایزوتوب- Sr - Nd نفوذی‌های چاه شلغمی و دهسلم مشابه با بازالت‌های کمان عادی است، که به همراه بازه بسیار محدود آن نشان دهنده منشا یکسان توده‌ها متناسب با یک منبع گوه گوشه‌ای بالای زون فرورانش برای مذاب‌های مادر است [۲۷، ۲۸]. مقادیر ماقما شکل K₂O به منبع گوشه‌ای با دخالت فلوگوپیت در تولید ماقما نسبت داده شده است [۲۸]. همچنین بی‌هنجاری‌های عناصر LILE به اضافه شدن آنها از ترکیبات صفحه فرورانش به گوه گوشه‌ای نسبت داده شده و ماقماهای مادر احتمالاً از ذوب بخشی پریدوتیت متاسوماتیزه در یک گوه گوشه‌ای بالای زون فرورانش حاصل شده است [۲۸]. متاسوماتیسم پریدوتیت گوشه‌ای توسط مذاب‌های صفحه اقیانوسی فرورانش به شده سبب تولید ارتوپیروکسن، کلینوپیروکسن، گارنت، فلوگوپیت و ریشتريت یا پارگاسیت می‌شود [۵۹]. پلات نمونه‌های سنگ‌کل در نمودار La/Yb و La/Sm در برابر La/Yb (شکل-۶ الف و ب) [۶۰]، بیانگر تشکیل ماقمای نفوذی‌های چاه شلغمی و دهسلم از ذوب گوشه پریدوتیتی با ترکیب اسپینل

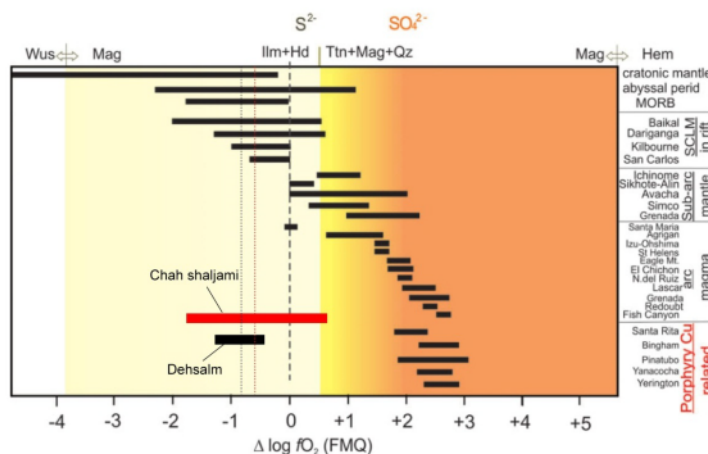
ذخایر کمربند کوهزایی آسیای مرکزی دارای با بازه وسیع فوگاسیته اکسیژن کم تا زیاد (غالباً متوسط) هستند. بر این اساس، نمونه‌های کانه‌دار چاه شلغمی و دهسلم ویژگی شرایط ذخایر با فوگاسیته اکسیژن متوسط تا کم را نشان می‌دهند (شکل ۸). نمونه‌های چاه شلغمی حالت اکسیداسیونی بهتری از دهسلم نشان داده و نمونه‌های دهسلم ویژگی ذخایر با فوگاسیته اکسیژن کم تا حتی عقیم را نشان می‌دهند (شکل ۸).

دار و کانی‌سازی مس پورفیری در چاه شلغمی و دهسلم را فراهم نکرده است.

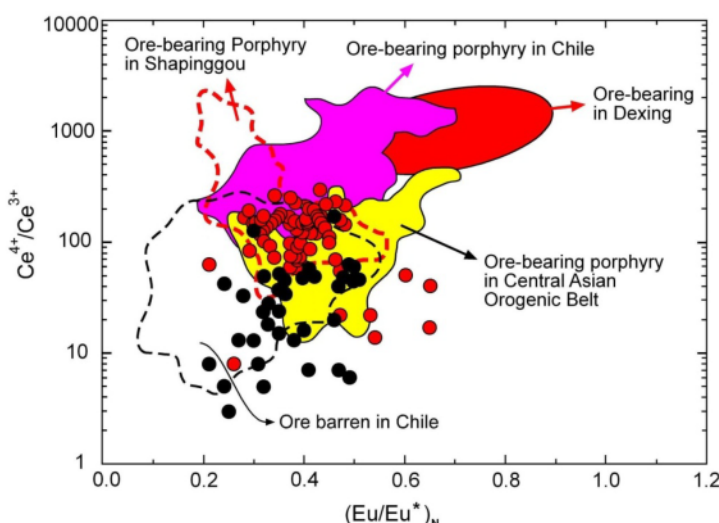
مقادیر $\text{Ce}^{4+}/\text{Ce}^{3+}$ و Eu^*/Eu زیرکن پورفیری‌های کانه‌دار و عقیم مختلف دنیا به همراه مقادیر چاه شلغمی و دهسلم پلات شدند (شکل ۸) [۴۳]. بیشترین فوگاسیته اکسیژن به ذخایر Shapinggou و ذخایر Dexing (مس-مولیبدن-طلاء) و چین (بزرگترین ذخیره مولیبدن پورفیری دنیا) تعلق دارد.



شکل ۶ نمودارهای (الف) La در برابر La/Sm و (ب) La/Yb در برابر Yb که نشان دهنده منحنی‌های (خطوط) ذوب بدست آمده با استفاده از معادلات ذوب شدگی مجموعه مودال از [۶۰] برای نمونه‌های مونزونیت-مونزودیوریت-دیوریت. داده‌های سنگ‌کل از [۲۸, ۲۷]. منحنی‌های ذوب برای اسپینل لرزولیت و گارنت لرزولیت نمایش داده شده است. اختصارات: گوشته تهی شده: DM، گوشته اولیه: PM، مورب عادی: NMORB و مورب غنی شده: E-MORB. خطوط درشت آرایش گوشته‌ای را با استفاده از DM، E-MORB و PM تعريف شده است. منحنی‌های (یا خطوط) خط ممتد و خط‌چین به ترتیب روندهای ذوب شدگی DM و E-MORB هستند. علاوه درشت بر روی هر منحنی (یا خط) مربوط به درجات ذوب بخشی برای منبع گوشته‌ای مفروض است؛ محدوده آداکیت (Adakite)، سبز (ADR)، سرمه‌ای آندزیت-داسیت-ریولیت جزایر (Adakites)، قرمز (garnet Iherzolite melting curve) و زرد (Spinel Iherzolite melting curve).



شکل ۷ شرایط و محدوده اکسیداسیونی ($\log f\text{O}_2$) سنگ‌های مختلف [۶۱] و ماقماهای کانه‌دار چاه شلغمی (خط قرمز محدوده داده‌ها و خط چین قرمز به عنوان میانگین)، خوپیک (خط سیاه محدوده داده‌ها و خط چین سیاه به عنوان میانگین). اختصارات: Ttn، مگنتیت؛ Mag، کوارتز؛ Hd، هدنبریت؛ Ilm، ایلمنیت؛ Qz، زیر بافر FMQ (محدوده زرد کمرنگ) بصورت S^{2-} و در بالای SO_4^{2-} (نارنجی پرنگ) بصورت FMQ^{+2} است [۶]. توجه شود که ماقماهای همراه با ذخایر مس پورفیری fO_2 بالای FMQ نشان می‌دهند.



شکل ۸ مقایسه نسبت‌های $\text{Ce}^{4+}/\text{Ce}^{3+}$ و $(\text{Eu}/\text{Eu}^*)_N$ [۴۳] داده‌های زیرکن توده‌های نفوذی کانه‌دار چاه شلغمی (دایره قرمز) و ده سلم (دایره سیاه) با ذخایر پورفیری Dexing و Shapinggou و ذخایر پورفیری کانه‌دار و عقیم شیلی. مقادیر بالای $\text{Ce}^{4+}/\text{Ce}^{3+}$ دلالت بر فوگاسیته اکسیژن بالا دارد. داده‌های نمونه‌های کانه‌دار و عقیم شیلی از [۱۱]، کربنید کوه‌زای آسیای مرکزی از [۱۶]، ذخیره مس–مولیبدن–طلای Dexing از [۶۶]، بزرگترین ذخیره مولیبدن پورفیری دنیا از [۶۷].

برداشت
(مقادیر $\log f\text{O}_2$ کم تحت بافر فایالیت-مگنتیت-کوارتز) و نبود مقادیر مس و گوگرد کافی در منشا، مطلوب کانی‌سازی مس پورفیری در دو منطقه نبوده است. این موضوع با شواهدی مانند نبود همرشدی‌های مگنتیت-هماتیت و فقدان کانی‌های سولفاته در درون ذخیره حمایت می‌شود. با توجه به این نتایج، احتمالاً دیگر اندیس‌های پورفیری که در بلوك لوت گزارش شده‌اند، نیز قادر پتانسیل کانی‌سازی مطلوب هستند.

نفوذی‌های کانه‌دار چاه شلغمی و ده سلم با ویژگی کالک‌آلکالن پتساسیم زیاد تا شوشونیتی و گرایش آداسیتی به یک کمان عادی فرورانشی تعلق دارند. براساس ژئوشیمی عنصر اصلی و فرعی و مقادیر ایزوتوپی Sr-Nd سنگ کل و مقادیر $\log f\text{O}_2$ زیرکن توده‌های کانه‌دار، ماقماهای مادر از ذوب بخشی پریدوتیت گوشته‌ای بالای زون فرورانش با دخالت ضعیف تیغه منشا گرفته‌است. رژیم تکتونیکی و ذوب تحت شرایط نامناسب

قدردانی

از موسسه زمین‌شناسی و ژئوفیزیک، آکادمی علوم چین برای حمایت مالی، بویژه آقای دکتر Li Bxatier و کمکشان در زمینه آماده سازی نمونه‌ها و آنالیزها کمال تشکر را دارند.

مراجع

- [11] Ballard J.R., Palin J.M., Campbell I.H., "Relative oxidation states of magmas inferred from Ce(IV)/Ce(III) in zircon: Application to porphyry copper deposits of northern Chile", Contributions to Mineralogy and Petrology 144 (2002), p. 347–364. <https://link.springer.com/article/10.1007/s00410-002-0402-5>
- [12] Smythe D. J., Brenan J. M., "Magmatic oxygen fugacity estimated using zircon-melt partitioning of cerium". Earth and Planetary Science Letters 453 (2016), 260–266. <https://doi.org/10.1016/j.epsl.2016.08.013>
- [13] Trail D., Watson E. B., Tailby N. D., "The oxidation state of Hadean magmas and implications for early Earth's atmosphere". Nature, 480 (2011), 79–82. <https://doi.org/10.1038/nature10655>
- [14] Carley T.L., Miller C.F., Wooden J.L., Padilla A.J., Schmitt A.K., Economos R.C., Bindeman I.N., Jordan B.T., "Iceland is not a magmatic analog for the Hadean: Evidence from the zircon record." Earth Planet. Sci. Lett. 405 (2014), 85–97.
- [15] Dilles J.H., Kent A.J.R., Wooden J.L., Tosdal R.M., Koleszar A., Lee R.G., Farmer L.P., "Zircon compositional evidence for sulfur-degassing from ore-forming arc magmas." Econ. Geol. 110 (2015), 241–251.
- [16] Shen P., Hattori K., Jackson S., Seitmuratova E., "Oxidation Condition and Metal Fertility of Granitic Magmas: Zircon Trace Element Data from Porphyry Cu Deposits in the Central Asian Orogenic Belt", Economic Geology 110 (2015), p. 1861–1878. DOI: 10.2113/econgeo.110.7.1861
- [17] Cherniak D.J., Watson E.B., Hanchar J.M., "Rare-earth diffusion in zircon", Chemical Geology 134 (1997), p. 289–301. [https://doi.org/10.1016/S0009-2541\(96\)00098-8](https://doi.org/10.1016/S0009-2541(96)00098-8)
- [18] Liang H.Y., Campbell I.H., Allen C., Sun W.D., Liu C.Q., Yu H.X., Xie Y.W., Zhang Y.Q., "Zircon Ce⁴⁺/Ce³⁺ ratios and ages for Yulong ore-bearing porphyries in eastern Tibet", Mineral. Deposita 41 (2006), p. 152–159. Doi: 10.1007/s00126-005-0047-1
- [19] Han Y.G., Zhang S.H., Pirajno F., Zhou X.W., Zhao G.C., Qu W.J., Liu S.H., Zhang J.M., Liang H.B., Yang K., "U-Pb and Re-Os isotopic systematics and zircon Ce⁴⁺/Ce³⁺ ratios in the Shiyaoqou Mo deposit in eastern Qinling, central China: insights into the oxidation state of granitoids and Mo (Au) mineralization", Ore Geol. Rev. 55 (2013), p. 29–47. Doi: 10.1016/j.oregeorev.2013.04.006
- [1] Carmichael I.S.E., "The redox states of basic and silicic magmas: a reflection of their source regions?" Contrib. Mineral. Petrology 106 (1991), 129–141.
- [2] Frost B. R., "Introduction to oxygen fugacity and its petrologic importance. In D. H. Lindsley (Ed.), Oxide Minerals: Petrologic and Magnetic Significance". Reviews in Mineralogy 25 (1991), pp. 1–9. Washington, DC: Mineral. Soc. Am.
- [3] Brounce M. N., Kelley K. A., Cottrell E., "Variations in Fe³⁺/ Σ Fe of Mariana Arc basalts and mantle wedge fO₂". Journal of Petrology 55 (2014), 2513–2536. <https://doi.org/10.1093/petrology/egu065>
- [4] Canil D., "Vanadium in peridotites, mantle redox and tectonic environments: Archean to present". Earth and Planetary Science Letters, 195 (2002), 75–90. [https://doi.org/10.1016/S0012-821X\(01\)00582-9](https://doi.org/10.1016/S0012-821X(01)00582-9)
- [5] Evans K. A., Tomkins A. G., "The relationship between subduction zone redox budget and arc magma fertility". Earth and Planetary Science Letters, 308 (2011), 401–409. <https://doi.org/10.1016/j.epsl.2011.06.009>
- [6] Jugó P.J., "Sulfur content at sulfide saturation in oxidized magmas", Geology 37 (2009), p. 415–418. Doi: <https://doi.org/10.1130/G25527A.1>
- [7] Richards J. P., "The oxidation state, and sulfur and Cu contents of arc magmas: implications for metallogeny". Lithos 233 (2015), 27–45. <https://doi.org/10.1016/j.lithos.2014.12.011>
- [8] Sillitoe R. H., "Porphyry copper systems", Economic Geology 105 (2010), p. 3–41. DOI: 10.2113/gsecongeo.105.1.3
- [9] Burgisser A., Scaillet B., "Redox evolution of a degassing magma rising to the surface". Nature, 445 (2007), 194. <https://doi.org/10.1038/nature05509>
- [10] Moretti R., Ottonello G., "Solubility and speciation of sulfur in silicate melts: The Conjugated Toop-Samis-Flood-Grjotheim (CTSFG) model". Geochimica et Cosmochimica Acta 69 (2005), 801–823. <https://doi.org/10.1016/j.gca.2004.09.006>

- [28] Arjmandzadeh R., Santos J.F., "Sr–Nd isotope geochemistry and tectonomagmatic setting of the Dehsalm Cu–Mo porphyry mineralizing intrusives from Lut Block, eastern Iran", International Journal of Earth Sciences 103 (2014), p. 123–140. doi: 10.1007/s00531-013-0959-4
- [29] Malekzadeh Shafaroudi A., Karimpour M.H., Stern C.R., "The Khopik porphyry copper-gold prospect, Lut Block, Eastern Iran: geology, alteration, mineralization, fluid inclusion, and oxygen isotope studies", Ore Geology Reviews 65 (2015), p. 522–544. DOI: 10.1016/j.oregeorev.2014.04.015
- [30] Kluyver H.M., Griffits R.J., Tirrul R., Chance P.N., Meixner H.M., "Explanatory text of the Lakar Kuh quadrangle 1:250,000". Geol Surv Iran 19 (1978), p. 1–175
- [31] Xie L.W., Zhang Y.B., Zhang H.H., Sun J.F., Wu F.Y., "In situ simultaneous determination of trace elements, U–Pb and Lu–Hf isotopes in zircon and baddeleyite", Chinese Science Bulletin 53 (2008): p. 1565–1573. doi: 10.1007/s11434-012-5177-0
- [32] Griffin W.L., Powell W.J., Pearson N.J., O'Reilly S.Y., "GLITTER: data reduction software for laser ablation ICP-MS". Laser Ablation-ICP-MS in the Earth Sciences (2008): Current Practices and Outstanding Issues, 308–311.
- [33] Smythe D. J., Brenan J. M., "Cerium oxidation state in silicate melts: combined fO_2 , temperature and compositional effects", Geochim. Cosmochim. Acta 170 (2015), p. 173–187. doi: 10.1016/j.gca.2015.07.016
- [34] Blundy J., Wood B., "Prediction of crystal-melt partition coefficients from elastic moduli", Nature 372 (1994), p. 452–454. <https://www.nature.com/articles/372452a0>
- [35] Shannon R. T., "Revised effective ionic radii and systematic studies of interatomic distances in halides and chalcogenides", Acta Crystallographica, Section A: Crystal Physics, Diffraction, Theoretical and General Crystallography 32 (1976), p. 751–767. doi: 10.1107/S0567739476001551
- [36] Trail D., Watson E. B., Tailby N. D., "Ce and Eu anomalies in zircon as proxies for the oxidation state of magmas", Geochimica et Cosmochimica Acta 97 (2012), p. 70–87. doi: 10.1016/j.gca.2012.08.032
- [37] Ferry J. M., Watson E. B., "New thermodynamic models and revised calibrations for the ti -in-zircon and zr -in-rutile thermometers", Contributions to Mineralogy and
- [20] Qiu J.T., Yu X.Q., Santosh M., Zhang D.H., Chen S.Q., Li P.J., "Geochronology and magmatic oxygen fugacity of the Tongcun molybdenum deposit, northwest Zhejiang, SE China", Mineralium Deposita 48 (2013), p. 545–556. doi: 10.1007/s00126-013-0456-5
- [21] Aghazadeh M., Hou Z., Badrzadeh Z., Zhou L., "Temporal-spatial distribution and tectonic setting of porphyry copper deposits in Iran: Constraints from zircon U–Pb and molybdenite Re–Os geochronology", Ore Geology Reviews 70 (2015), p. 385–406. doi: 10.1016/j.oregeorev.2015.03.003.
- [22] McCall G.J.H., "The geotectonic history of the Makran and adjacent areas of southern Iran", J. SE Asian Earth Sci. 15 (1997), p. 517–531. [https://doi.org/10.1016/S0743-9547\(97\)00032-9](https://doi.org/10.1016/S0743-9547(97)00032-9)
- [23] Pang K.N., Chung S.L., Zarrinkoub M.H., Khatib M.M., Mohammadi S.S., Chiu H.Y., Chu C.H., Lee H.Y., Lo C.H., "Eocene–Oligocene post-collisional magmatism in the Lut–Sistan region, eastern Iran: magma genesis and tectonic implications", Lithos 180–181 (2013), p. 234–251. DOI: 10.1016/j.lithos.2013.05.009
- [24] Zarrinkoub M.H., Pang K.N., Chung S.L., Khatib M.M., Mohammadi S.S., Chiu H.Y., Lee H.Y., "Zircon U/Pb age and geochemical constraints on the origin of the Birjand ophiolite, Sistan suture zone, eastern Iran", Lithos 154 (2012) p. 392–405. DOI: 10.1016/j.lithos.2012.08.007
- [25] Karimpour M.H., Stern C.R., Farmer L., Saadat S., Malekzadeh Shafaroudi A., "Review of age, Rb-Sr geochemistry and petrogenesis of Jurassic to Quaternary igneous rocks in Lut Block, Eastern Iran", Journal of Geopersia 1 (2011), p. 19–36. doi: 10.22059/JGEOPE.2011.22162
- [26] Richards J.P., Spell T., Rameh E., Razique A., Fletcher T., "High Sr/Y magmas reflect arc maturity, high magmatic water content, and porphyry Cu ± Mo ± Au potential: examples from the Tethyan arcs of Central and Eastern Iran and Western Pakistan", Economic Geology 107 (2012), p. 295–332. <https://doi.org/10.2113/econgeo.107.2.295>
- [27] Arjmandzadeh R., Karimpour M.H., Mazaheri S.A., Santos J.F., Medina J.M., Homam S.M., "Sr/Nd isotope geochemistry and petrogenesis of the Chah-Shaljami granitoids (Lut Block, Eastern Iran)", Journal of Asian Earth Sciences 41 (2011), p. 283–296. <https://doi.org/10.1016/j.jseaes.2011.02.014>

- convergent margin magmas prompted by magnetite crystallization", Nature 431 (2004a), p. 975–978. DOI: 10.1038/nature02972*
- [49] Hofmann A.W., "Chemical differentiation of the Earth: the relationship between mantle, continental crust, and oceanic crust", *Earth Planet. Sci. Lett.* 90 (1988), p. 297–314. [https://doi.org/10.1016/0012-821X\(88\)90132-X](https://doi.org/10.1016/0012-821X(88)90132-X)
- [50] Lee C.T.A., Luffi P., Chin E.J., Bouchet R., Dasgupta R., Morton D.M., Le Roux V., Yin Q.Z., Jin D., "Copper systematics in arc magmas and implications for crust–mantle differentiation", *Science* 336 (2012), p. 64–68. DOI: 10.1126/science.1217313
- [51] Liu X., Xiong X., Audétat A., Li Y., Song M., Li L., Sun W., Ding X., "Partitioning of copper between olivine, orthopyroxene, clinopyroxene, spinel, garnet and silicate melts at upper mantle conditions", *Geochim. Cosmochim. Acta* 125 (2014), p. 1–22. <https://doi.org/10.1016/j.gca.2013.09.039>
- [52] Lorand J.P., "Are spinel lherzolite xenoliths representative of the abundance of sulfur in the upper mantle". *Geochim. Cosmochim. Acta* 54 (1990), p. 1487–1492.
- [53] Mavrogenes J.A., O'Neill H.S.C., "The relative effects of pressure, temperature and oxygen fugacity on the solubility of sulfide in mafic magmas", *Geochim. Cosmochim. Acta* 63 (1999), p. 1173–1180. [https://doi.org/10.1016/S0016-7037\(98\)00289-0](https://doi.org/10.1016/S0016-7037(98)00289-0)
- [54] Vila T., Sillitoe R.H., Betzhold J., Viteri E., "The porphyry gold deposit at Marte, Northern Chile", *Econ. Geol. Bull. Soc. Econ. Geol.* 86 (1991), p. 1271–1286.
- [55] Stern C.R., Funk J.A., Skewes M.A., Arevalo A., "Magmatic anhydrite in plutonic rocks at the El Teniente Cu–Mo deposit chile, and the role of sulfur- and copperrich magmas in its formation", *Econ. Geol.* 102 (2007), p.1335–1344. DOI:10.2113/gsecongeo.102.7.1335
- [56] Chou I.M., "Calibration of oxygen buffers at elevated P and T using the hydrogen fugacity sensor". *Am. Mineral.* 63 (1978), 690–703.
- [57] Huebner J.S., Sato M., "The oxygen fugacity–temperature relationships of manganese oxide and nickel oxide buffers". *Am. Mineral.* 55 (1970), 934–952.
- [58] Xiao L., Clemens J.D., "Origin of potassic (C-type) adakite magmas: experimental and field constraints". *Lithos* 95 (2007):399–414
- [59] Rapp R.P., Shimizu N., Norman M.D., "Reaction between slabderived melts and Petrology 154 (2007), p. 429–437. DOI: 10.1007/s00410-007-0201-0
- [38] Lu Y. J., Loucks R. R., Fiorentini M. L., Yang Z. M., Hou Z. Q., "Fluid flux melting generated postcollisional high Sr/Y copper ore-forming water-rich magmas in Tibet", *Geology* 43 (2015), p. 583–586. DOI: 10.1130/G36734.1
- [39] Fu B., Page F.Z., Cavosie A.J., Fournelle J., Kita N.T., Lackey J.S., Wilde S.A., Valley J.W., "Ti-in-zircon thermometry: applications and limitations". *Contrib. Mineral. Petrol.* 156 (2008), 197–215.
- [40] Davidson J., Turner S., Handley H., Macpherson C., Dosseto A., "Amphibole "sponge" in arc crust?" *Geology* 35 (2007), 787–790.
- [41] Wang F.Y., Liu S.A., Li S.G., He Y.S., "Contrasting zircon Hf–O isotopes and trace elements between ore-bearing and ore-barren adakitic rocks in central-eastern China: Implications for genetic relation to Cu–Au mineralization". *Lithos* 156–159 (2013), 97–111.
- [42] McDonough W., Sun S., "The composition of the Earth", *Chemical Geology* 120 (1995), p. 223–253. [https://doi.org/10.1016/0009-2541\(94\)00140-4](https://doi.org/10.1016/0009-2541(94)00140-4)
- [43] Sun W.D., Huang R., Li H., Yongbin H., "Porphyry deposits and oxidized magma". *Ore Geology Reviews* 65 (2015), 97–131. DOI: 10.1016/j.oregeorev.2014.09.004
- [44] Hattori K., Wang J., Kobylinski C., Baumgartner R., Morfin S., Shen P., "Zircon composition: indicator of fertile igneous rocks related to porphyry copper deposits (Extended Abstract)", *Soc. Geol. Applied Mineral Deposits* 2 (2017), p. 295–298.
- [45] Mungall J.E., "Roasting the mantle: slab melting and the genesis of major Au and Aurich Cu deposits", *Geology* 30 (2002), p. 915–918.
- [46] Sun W.D., Liang H.Y., Ling M.X., Zhan M.Z., Ding X., Zhang H., Yang X.Y., Li Y.L., Ireland T.R., Wei Q.R., Fan W.M., "The link between reduced porphyry copper deposits and oxidized magmas", *Geochim. Cosmochim. Acta* 103 (2013b), p. 263–275. DOI:10.1016/j.oregeorev.2014.09.004
- [47] Sun W.D., Bennett V.C., Eggins S.M., Arculus R.J., Perfit M.R., "Rhenium systematics in submarine MORB and back-arc basin glasses: laser ablation ICP-MS results", *Chem. Geol.* 196 (2003b), p. 259–281. DOI: 10.1016/S0009-2541(02)00416-3
- [48] Sun W.D., Arculus R.J., Kamenetsky V.S., Binns R.A., "Release of gold-bearing fluids in

different origins and copper mineralization", J. Geol. 120 (2012a), p. 105–120. <https://doi.org/10.1086/662736>

[65] Sun W.D., Zhang H., Ling M.X., Ding X., Chung S.L., Zhou J.B., Yang X.Y., Fan W.M., "The genetic association of adakites and Cu–Au ore deposits", *Int. Geol. Rev.* 53 (2011), p. 691–703. <https://doi.org/10.1080/00206814.2010.507362>

[66] Zhang H., Ling M.X., Liu Y.L., Tu X.L., Wang F.Y., Li C.Y., Liang H.Y., Yang X.Y., Arndt N.T., Sun W.D. "High oxygen fugacity and slab melting linked to Cu mineralization: evidence from Dexing porphyry copper deposits, southeastern China", *J. Geol.*, 121 (2013), 289–305. Doi: 10.1086/669975

[67] Zhang H., Li C.Y., Yang X.Y., Sun Y.L., Deng J.H., Liang H.Y., Wang R.L., Wang B.H., Wang Y.X., Sun W.D., "Shapoggou: the largest Climax-type porphyry Mo deposit in China". *Int. Geol. Rev.* 56 (2013), 313–331.

peridotite in the mantle wedge: experimental constraints at 3.8 GPa". Chem Geol 160 (1999):335–356

[60] Shaw D. M., "Trace element fractionation during anatexis". *Geochim. cosmochim. Ada*, 34 (1970), 331—40.

[61] Hattori K., "Porphyry Copper Potential in Japan Based on Magmatic Oxidation State", *Resource Geology*, 68 (2018), p. 126-137. doi: 10.1111/rge.12160

[62] Lee C.T.A., Luffi P., Le Roux V., Dasgupta R., Albarede F., Leeman W.P., "The redox state of arc mantle using Zn/Fe systematics". *Nature* 468 (2010), 681–685.

[63] Oyarzun R., Marquez A., Lillo J., Lopez I., Rivera S., "Giant versus small porphyry copper deposits of Cenozoic age in northern Chile: adakitic versus normal calc-alkaline magmatism". *Mineral. Deposita* 36 (2001), 794–798.

[64] Sun W.D., Ling M.X., Chung S.L., Ding X., Yang X.Y., Liang H.Y., Fan W.M., Goldfarb R., Yin Q.Z., "Geochemical constraints on adakites of